

KKA
KK
158/10 HId
P

LAPORAN AKHIR
HIBAH KOMPETITIF PENELITIAN KERJASAMA INTERNASIONAL

PENGEMBANGAN PROTOTIPE RAPID TEST (ICT-S *typhi*)
BERBASIS PROTEIN ADHESI MEMBRAN LUAR DAN FIMBRIA
Salmonella typhi DARI PENDERITA DEMAM TIFOID



MILIK
PERPUSTAKAAN
UNIVERSITAS AIRLANGGA
SURABAYA

Wahyu Hidayatiningsih
Eddy Bagus Wasito
Toshiro Shirakawa

UNIVERSITAS AIRLANGGA
SURABAYA
2009

LAPORAN AKHIR

HIBAH KOMPLETITIF PEMERINTAH KERJASAMA INTERNASIONAL

PENGEMBANGAN PROTOTYPE RAPID TEST BC-2 (rapid

BERBASIS PROTEIN ADHESI MEMBRAN LIUR DAN PRIMER)

Solusi alternatif dari rendemen dalam trigo



PROSES
TERPRAKTISASI
DILAKUKAN
DI SURABAYA

Wajah Hidroksilatulogit

Eddy Bapak Waskito

Tepiota Shirkawu

UNIVERSITAS AIRLANGGA

SURABAYA

2006

HALAMAN PENGESAHAN

1. Judul Penelitian : Pengembangan Prototipe *Rapid Test (ICT- S typhi)*
Berbasis Protein Membran Luar dan Fimbria Dari Penderita Demam Tifoid.

2. Ketua Peneliti

a. Nama Lengkap : Wahyu Hidayatiningsih, S.Si., M.Kes.
b. Jenis Kelamin : Perempuan
c. NIP : 132 231 077
d. Jabatan Struktural : -
e. Jabatan Fungsional : Peneliti
f. Fakultas/Unit Kerja : Lembaga Penyakit Tropis
g. Pusat Penelitian : LPPM –Universitas Airlangga
h. Alamat Kantor : Jl Mulyorejo Kampus C Unair Surabaya
i. Telepon & faks/E-mail : 031-5992445; wahyu_tdc@yahoo.co.id
j. Alamat Rumah : Jl Sidotopo Wetan Baru 49 Surabaya
k. Telepon/Faks : HP 0818595046

3. Jangka Waktu Penelitian : 2 (dua) Tahun

4. Pembiayaan :

a. Jumlah seluruh biaya yang diajukan ke Dikti : Rp 100.000.000,-
b. Jumlah biaya dari sumber pembiayaan lain : Rp 0,-

Surabaya, 20 Desember 2009
Ketua Peneliti,



Wahyu Hidayatiningsih, S.Si., M.Kes.
NIP 132 231 077

Mengetahui,
Ketua Lembaga Penyakit Tropis
Universitas Airlangga


Dr. Nasronudin, dr., SpPD-KPTI
NIP 140 159 073

Mengetahui
Ketua Lembaga Penelitian dan Pengabdian Masyarakat
Universitas Airlangga


Prof. Dr. Bambang Sektari Lukiswanto, drh., DEA.
NIP 131 847 004

HANNAH BENGESEN

1. Sämtliche Pausen	z.B. Begeisterung für ein bestimmtes Thema
2. Kreative Pausen	a. Interne Freizeitaktivitäten b. Tiefes Kennenlernen c. Mitgliedschaften d. Tiefereinsteigerkurse e. Erwachsenenbildungskurse f. Freizeitaktivitäten g. Basis-Pausenaktivitäten h. Aktivität-Kontakt i. Telefon- & E-mail j. Aktivitäts-Runden k. Tagessportarten
3. Sämtliche Wohlfahrts-Pausen	a. Pausenaktivität b. Turnhallenbenutzung und die daraus entstehende Kostenbelastung c. Turnhalle-Pausen der sozialen Entwicklung
4. Wohlfahrtsaktivität	Kinder- und Jugendförderung Universitäts-Aktivitäten
5. Kreative Pausen	a. Interne Freizeitaktivitäten b. Tiefes Kennenlernen c. Mitgliedschaften d. Tiefereinsteigerkurse e. Erwachsenenbildungskurse f. Freizeitaktivitäten g. Basis-Pausenaktivitäten h. Aktivität-Kontakt i. Telefon- & E-mail j. Aktivitäts-Runden k. Tagessportarten

Mehrspurige
Kreativität und Pausenaktivität
Universitäts- & Hochschule

Erholung, Gesundheit & kreativität für alle

KATA PENGANTAR

Puji syukur kami panjatkan kehadirat Allah SWT karena rahmat dan karuniaNya, kami dapat menyelesaikan riset berjudul ‘Pengembangan Prototipe Rapid Test (ICT-S *typhi*) Berbasiskan Protein Adhesi Membran Luar dan Fimbria *Salmonella typhi* dari Penderita Demam Tifoid’ tahap pertama ini.

Terselesaikannya riset tersebut tidak terlepasnya dari bantuan berbagai pihak. Oleh karena itu, kami menyampaikan terima kasih atas bantuannya dan semoga hasil riset ini bermanfaat bagi kesejahteraan masyarakat Indonesia pada umumnya.

Begitu juga kami sampaikan terima kasih kepada universitas Airlangga, karena dukungannya berupa fasilitas sarana dan prasarana sehingga riset ini terselenggara dengan lancar. Sarana riset yang tersedia di Lembaga Penyakit Tropis (LPT) sebagai tempat kami menjalankan sebagian besar pekerjaan laboratorium.

Akhir kata, kami berharap semoga hasil riset ini menjadi inspirasi dan pedoman bagi masyarakat luas, sehingga tugas negara untuk mensejahterakan rakyat dapat terwujud.

Surabaya, Medio Desember 2009

Tim Peneliti

KATA PENGANTAR

heb terdiri dalam dua kategori yaitu SWT (Kebutuhan pokok) dan Kebutuhan tambahan. Kebutuhan pokok adalah kebutuhan yang diperlukan untuk bertahan hidup dan memenuhi kebutuhan dasar manusia. Sedangkan kebutuhan tambahan adalah kebutuhan yang tidak diperlukan untuk bertahan hidup tetapi dapat memberikan kenyamanan dan kemudahan dalam hidup. Kebutuhan tambahan ini termasuk kebutuhan hiburan, kebutuhan sosial, kebutuhan profesional, dan kebutuhan lainnya.

SWT merupakan kebutuhan pokok yang sangat penting bagi setiap individu. Kebutuhan pokok ini mencakup kebutuhan makanan, pakaian, tempat tinggal, dan perlengkapan rumah tangga. Kebutuhan tambahan ini mencakup kebutuhan hiburan, kebutuhan sosial, kebutuhan profesional, dan kebutuhan lainnya.

Penulis menulis buku ini dengan tujuan untuk memberikan informasi tentang kebutuhan pokok dan tambahan bagi masyarakat Indonesia. Buku ini diharapkan dapat membantu masyarakat dalam mengelola kebutuhan mereka dengan baik dan efektif.

Penulis berharap buku ini dapat memberikan manfaat bagi pembaca dan dapat menjadi sumber referensi bagi mereka yang ingin tahu tentang kebutuhan pokok dan tambahan.

Sampulnya, Medan Desember 2008

Tony Hartono

ABSTRACT

Background

Typhoid fever, a systemic fever disease caused by *Salmonella typhi*, has been a health problem, especially in developing countries including Indonesia. *Salmonella typhi* adhesin protein, outer membrane proteinC and fimbriaH have immunogenic potency to elicit immunity respond.

Aim of study

The general objective of this study was to find Outer Membrane ProteinC and FimbriaH from typhoid fever patients for developing of the diagnosis of typhoid fever.

Methods

(First Year of the Proposal Research)

The coding sequences of *ompC* and *fimH* genes were amplified by the polymerase chain reaction with two pairs of specific primer from *Salmonella typhi*. The PCR products were inserted into the *pHis1525* (Braunswigh,Germany) and cloned into *E coli DH10 β* for characterizing of DNA target. After primary selection of recombinants by restriction endonuclease digestion *Bgl*II and *Ngo*MIV, the sequences of the inserted gene fragments were confirmed by DNA sequence analysis. Expression was undertaken in *E coli DH10 β* . Analyze of recombinant protein was undertaken by SDS-page and western blotting.

Results

The result of this study revealed that the full length of coding sequence of *ompC* and *fimH* gene were isolated from the *Salmonella typhi* of typhoid fever patients (sample 9) by with PCR and obtained band \pm 1093 bp a for *ompC* gene and \pm 935 bp for *fimH* gene.

Sample 9 of sequence of *ompC* gene coding area can be accessed in GeneBank with accession number AE014613.1 and AL627274 for nucleotide and NP804453.1 and NP456812.1 for protein. The full length of the coding sequence of *ompC* gene between the sequence at GeneBank had 99% homology with sequence accession number AE014613.1; AL627274 and NP804453.1; NP456812.1 (sequence from *Salmonella enteritica subspecies*

ABSTRACT

Background

Type IIA fever is a systemic fever disease caused by *Salmonella* which has been isolated from various sources in developing countries, especially in developing countries. There is a need for *Salmonella* diagnosis after treatment failure. *Salmonella* diagnosis requires a specific antibody response.

Antibody

The general objective of this study was to find Outer Membrane Protein and Lipopolysaccharide antigen to develop a test for diagnosis of type IIA fever. *Salmonella* type IIA fever isolates were used.

Materials

(1) Isolates of type IIA *Salmonella* (n=20)

The coding sequences of OmpC and OmpF genes were amplified by the polymerase chain reaction with the primer pair His1258 (Blauenswirg/Germany) and clone DH10B for amplification of plasmid DNA between sites of transcriptional initiation to determine the sequence of the promoter region. After polymerase chain reaction (PCR) products were digested with KpnI and *Xba*I and sequenced with sequencing dideoxybase chain-terminator method. A negative control was included in each sequencing reaction.

(2) OMP-based Western blotting

Results

The result of the study is that there is no difference in the OmpC and OmpF genes between type IIA *Salmonella* and type IIB *Salmonella*. The mean value of OmpC and OmpF genes is 400 ± 100 bp with PCR (20 samples).

Sample 8 of sequences of OmpC genes only had differences in the amino acid sequence of the outer membrane protein AF014813 and AF014814 for GenBank with accession number AF014813.1 for type IIA and NPA89451.1 for type IIB. The result of the coding sequence of GenBank with accession number AF014814 and AF014813 and NPA89451.1 and NPA89452.1 (sequences from *Salmonella enterica* subspecies

enteritica serovar *Typhi* Ty2 and *Salmonella enteritica* serovar *Typhi* CT18). The full length of the coding sequence of *fimH* gene between the sequence at GeneBank had 94% homology with sequence accession number AE014613.1 and AL627267.1. The recombinant protein of OmpC and FimH that encoded by recombinant plasmid pOmpC and pFimH from *Salmonella typhi* of typhoid fever patients was expressed in *E.coli* DH10 β .

Conclusion

This study obtains OmpC and FimH recombinant protein encode by pOmpC and pFimH of *Salmonella typhi* of typhoid fever patient. It reveals that OmpC and FimH recombinant protein that can be used as biomaterial for developing the diagnosis of typhoid fever.

Keywords : Outer membrane protein C, Fimbriae H, *Salmonella typhi*, Typhoid Fever

glossary of terms used in the financial sector (May 2018) (CLB)

the term *bank* refers to a banking institution that is authorized by law to accept deposits from the public, to extend credit, and to issue banknotes.

The term *banknotes* refers to paper money issued by a central bank or a commercial bank.

The term *central bank* refers to the institution that is responsible for the monetary policy of a country.

The term *commercial bank* refers to a bank that provides services to individuals and businesses.

The term *deposit* refers to money deposited in a bank account.

Organization

The term *organization* refers to a group of people who work together to achieve a common goal.

The term *partner* refers to a person who has a share in a business or organization.

The term *shareholder* refers to a person who owns a share of a company's stock.

The term *stock* refers to shares of a company's ownership.

Keywords: Organization, Partner, Shareholder, Stock

DAFTAR ISI

	Halaman
Halaman Judul	i
Lembar Pengesahan.....	ii
Kata Pengantar.....	iii
Abstract.....	iv
Daftar Isi.....	v
Daftar Tabel.....	vi
Daftar Gambar.....	vii
Daftar Lampiran.....	viii
Bab I. Pendahuluan	
1.1 Latar Belakang	1
1.2 Rumusan Masalah.....	2
1.3 Tujuan Penelitian.....	3
1.4 Manfaat Penelitian.....	4
Bab II. Bahan dan Metode Penelitian	5
Bab III. Hasil Penelitian.....	12
Bab IV.Pembahasan.....	22
Bab V.Kesimpulan.....	29
Daftar Pustaka.....	30
Lampiran.....	32

DATAR 181

Hilfswissen

1	Handbuch der Deutschen Geschichte	Hilfswissen (nur)
9	Handbuch der Deutschen Geschichte	Familiärer Personenindex
10	Handbuch der Deutschen Geschichte	Kärtchen Personenindex
15	Handbuch der Deutschen Geschichte	Abbildung
4	Handbuch der Deutschen Geschichte	Gesetzliche
11	Handbuch der Deutschen Geschichte	Dativer Tropel
11	Handbuch der Deutschen Geschichte	Dativer Genus
11	Handbuch der Deutschen Geschichte	Dativer Formularien
1	Handbuch der Deutschen Geschichte	Gap I: Rekonstruktion
2	Handbuch der Deutschen Geschichte	Gap II: Fiktiv Belebtes
3	Handbuch der Deutschen Geschichte	Gap III: Rumänien
4	Handbuch der Deutschen Geschichte	Gap IV: Tschetschien
4	Handbuch der Deutschen Geschichte	Gap V: Wallfahrt
4	Handbuch der Deutschen Geschichte	Gap VI: Spanien und Mexiko
12	Handbuch der Deutschen Geschichte	Gap VII: Hawaii
25	Handbuch der Deutschen Geschichte	Gap VIII: Neapel
25	Handbuch der Deutschen Geschichte	Gap IX: Kroatien
30	Handbuch der Deutschen Geschichte	Gap X: Bulgarien
35	Handbuch der Deutschen Geschichte	Gap XI: Spanien

DAFTAR TABEL

Halaman

Tabel 3.1 Hasil Uji Biokimia Isolat <i>Salmonella</i> spp dari Penderita Demam Tifoid.....	13
Tabel 3.2 Hasil Analisis Primer FOC dan ROC.....	14
Tabel 3.3 Hasil Analisis Primer FH dan RH.....	14

TABLE OF CONTENTS

Introduction

Table 1 Hawaii's Geopolitical Setting & Geopolitical Space
Key Parameters Determining Hawaii's Geopolitical Space

Table 2 Hawaii's Primary Power Resources & Geopolitical Space

Table 3 Hawaii's Australia-Pacific Power Grid & Geopolitical Space

DAFTAR GAMBAR

Gambar 3.1 Pengecatan Gram Isolat <i>Salmonella typhi</i>	12
Gambar 3.2 Hasil kultur sel transforman pOmpC.....	17
Gambar 3.3 Hasil kultur sel transforman pFimH	17

LAMPIRAN

Lampiran 3.1 Hasil Penjajaran sekuen gen <i>ompC</i> dan <i>fim H</i> <i>Salmonella typhi</i>	32
Lampiran 3.2 Hasil Penjajaran sekuen gen <i>ompC Salmonella typhi</i> Dengan database Protein di <i>genbank</i>	42
Lampiran 3.3 Hasil Penjajaran sekuen gen <i>fim H Salmonella typhi</i> Dengan database Protein di <i>genbank</i>	42

ИАРИУМАЛ

Иллюстрированное изображение на тему ИАРИУМАЛ

55

Иллюстрированное изображение на тему ИАРИУМАЛ

56

Иллюстрированное изображение на тему ИАРИУМАЛ

57

Иллюстрированное изображение на тему ИАРИУМАЛ

58

Иллюстрированное изображение на тему ИАРИУМАЛ

59

Иллюстрированное изображение на тему ИАРИУМАЛ

BAB I

PENDAHULUAN

1.1 Latar Belakang

Salmonella typhi merupakan bakteri penyebab demam tifoid, suatu penyakit infeksi yang masih merupakan masalah kesehatan penting di negara berkembang termasuk Indonesia. Terdapat 16 juta kasus demam tifoid yang terjadi setiap tahun di seluruh dunia dengan angka kematian 600.000 (WHO, 2004).

Insiden rata-rata demam tifoid diperkirakan berkisar $150/10^5/\text{tahun}$ di Amerika Selatan dan $1000/10^5/\text{tahun}$ di beberapa negara Asia (Ivanof, 1995). Di Indonesia, angka kejadian demam tifoid berkisar antara $358/100.000$ penduduk di pedesaan dan $810/100.000$ penduduk di perkotaan. Peningkatan angka kesakitan sebesar 34% dari tahun 1981 sampai 1986 dengan angka kematian rerata secara nasional antara 2-3,5% (Handoyo, 1996). Di RSUD Dr Soetomo periode 1996-2000 telah dirawat 1.563 penderita demam tifoid dengan angka kematian 1,09% (Hamid, 2008; Prasetyo, 1998; Wardhani, 2005).

Upaya penanggulangan infeksi *Salmonella typhi* secara dini menjadi penting guna mencegah penyebaran yang lebih luas. Salah satunya adalah tersedia perangkat deteksi yang akurat, cepat, murah, spesifik dan sensitif. Spesifitas alat deteksi didasarkan kemampuannya membedakan infeksi *Salmonella typhi* atau lainnya. Demikian pula, sensitifitas alat deteksi didasarkan atas kepekaannya dalam mendeteksi titer antibodi atau antigen pada batas tertentu.

Salmonella typhi terdiri atas lipopolisakarida dan protein adhesin yaitu protein membran luar dan fimbria. Peranan protein adhesin (protein membran luar/Omp, fimbriae/Fim, lipopolisakarida) penting dalam patogenesis infeksi *Salmonella typhi* dan bersifat imunogenik (Forrest et al., 1991; Satta et al., 1993; Mroczenki et al., 1989).

Pada penelitian di Mexico, Gam dkk (1991) menyebutkan bahwa protein 50 KDa OmpC sebagai protein utama (*outer membrane protein*) bakteri *Salmonella typhi* penyebab dari kejadian demam tifoid. Demikian pula pada penelitian yang dilakukan oleh Ismail dkk (1991) menyebutkan protein 50 kDa sebagai OmpC yang imunogenik untuk negara Malaysia. Sebaliknya penelitian protein membran luar *Salmonella typhi* di Indonesia (Jakarta, Malang, Surabaya) menyebutkan profil protein *Salmonella typhi* yang imunogenik berbeda dengan negara Malaysia, yaitu 36 kDa (Lucky et al., 1995, Santoso, 2002; Anggiani, 2002). Hal ini disebabkan karena galur *Salmonella typhi* yang berbeda atau HLA inang.

Demikian pula penelitian yang dilakukan oleh Santoso (2006) berhasil mengisolasi protein adhesin 36 kDa *Salmonella typhi* yang imunogenik. Eksplorasi lebih lanjut dari penelitian Santoso (2002) dilakukan pada penelitian ini. Ekspresi gen *ompC* dan *fimH* dihasilkan protein murni yang dapat digunakan sebagai sarana diagnostik.

Pengembangan sarana diagnostik cepat, sensitif, spesifik dan mudah penggunaannya menjadi sentral penelitian ini. Prototipe alat diagnostik didasarkan pada metode carik celup berbasis antigen protein membran luar dan fimbria *Salmonella typhi* untuk mendeteksi antibodi penderita demam tifoid. Keunggulan lain dari metode carik celup adalah dapat digunakan sebagai *rapid screening* pada kejadian luar biasa dengan biaya terjangkau sehingga penanggulangan penyebaran infeksi *Salmonella typhi* dapat dicegah. Selain tersebut diatas, carik celup sangat praktis tidak membutuhkan alat yang mahal.

1.2 Rumusan Masalah

Kekayaan sumber keanekaragaman hayati mikroorganisme di Indonesia merupakan lahan subur bagi inovasi bioproses seperti eksplorasi dan pengembangan alat diagnosis. Protein imunogenik protein membran luarC dan fimbriaH diperoleh dengan melakukan kloning gen penyandi *ompC* dan *fimH* *Salmonella typhi* dan ekspresinya yang selanjutnya dapat digunakan untuk mensintesis antibodi protein adhesin rekombinan tersebut pada hewan

coba dan kultur hibridoma. Protein adhesin isolat lokal yang mempunyai karakter khas tersebut hingga kini belum digunakan sebagai biomaterial untuk diagnosis demam tifoid. Berdasar urgensi kebutuhan alat diagnostik yang cepat, sensitif dan murah untuk pencegahan infeksi *Salmonella typhi*, maka diteliti dan dikembangkan:

- a. Apakah gen penyandi *ompC* dan *fimH* *Salmonella typhi* koleksi lembaga penyakit tropis dapat disekuen urutan nukleotidanya dan diketahui homologi dengan sekuen yang ada di *genbank*.
- b. Bagaimana ekspresi seluruh coding gen *ompC* dan *fimH* *Salmonella typhi* pada *E.coli DH10 β* untuk mendapatkan protein rekombinan Protein Membran Luar C/OmpC dan FimbriaH/ FimH *Salmonella typhi* sebagai biomaterial untuk pengembangan diagnosis demam tifoid.

1.3 Tujuan Penelitian

1.3.1 Tujuan Umum Penelitian:

Penelitian ini bertujuan membuat alat diagnostik *Rapid Test (ICT-S typhi)* berbasis antigen protein membran luar dan fimbria *Salmonella typhi* lokal dari penderita demam tifoid.

1.3.2 Tujuan khusus penelitian tahun pertama:

- a. Mengisolasi seluruh area coding gen *ompC* dan *fim H* *Salmonella typhi* lokal dengan teknik *Polymerase Chain Reaction*.
- b. Mendapatkan sekuen seluruh coding gen *ompC* dan *fimH* *Salmonella typhi* lokal dari penderita demam tifoid.
- c. Menganalisis homologi sekuen seluruh area coding gen *ompC* dan *fimH* *Salmonella typhi* lokal dari penderita demam tifoid.
- d. Membuktikan ekspresi seluruh area coding gen *ompC* dan *fimH* *Salmonella typhi* lokal dari penderita demam tifoid pada *E.coli DH10 β* untuk mendapatkan protein rekombinan Protein Membran LuarC dan FimbriaH *Salmonella typhi* sebagai biomaterial untuk pengembangan diagnosis demam tifoid.

1.3.3 Tujuan khusus penelitian tahun kedua :

- e. Karakterisasi antigen rekombinan Protein Membran LuarC dan FimbriaH *Salmonella typhi*.
- f. Produksi antigen rekombinan Protein Membran LuarC dan FimbriaH *Salmonella typhi*.
- g. Pembuatan prototype Carik Celup (ICT-*S. typhi*) untuk mendeteksi antibodi Protein Membran luarC dan FimbriaH *Salmonella typhi* pada penderita demam tifoid.

1.4 Manfaat Penelitian

1.4.1 Manfaat teori

Manfaat bagi perkembangan Ilmu Biologi Molekuler Kedokteran adalah memberikan informasi tentang sekuen seluruh area koding, homologi, kloning, dan ekspresi gen *ompC* dan *fimH* *Salmonella typhi* lokal dari penderita demam tifoid.

1.4.2 Manfaat praktis

Manfaat praktis dari penelitian ini adalah menghasilkan protein rekombinan Protein Membran LuarC dan FimbriaH yang imunogenik *Salmonella typhi* lokal dari penderita demam tifoid yang dapat diproduksi dalam skala besar sebagai biomaterial untuk pengembangan diagnosis demam tifoid.

BAB II

BAHAN DAN METODE PENELITIAN

2.1 Rancangan Penelitian

Penelitian ini merupakan penelitian eksploratif laboratorik yang secara umum bertujuan untuk mendapatkan protein rekombinan Protein Membran LuarC dan FimbriaH *Salmonella typhi* dari penderita demam tifoid sebagai biomaterial untuk pengembangan diagnosis demam tifoid.

2.2 Sampel Penelitian

Sampel adalah isolat *Salmonella typhi* dari penderita demam tifoid koleksi Balai Besar Laboratorium Kesehatan Daerah Surabaya dan Lembaga Penyakit Tropis, Universitas Airlangga.

2.3 Bahan Penelitian

Bahan penelitian yang digunakan untuk identifikasi gen *ompC* dan *fimH* yaitu isolat *Salmonella typhi* dari penderita demam tifoid koleksi Balai Besar Laboratorium Kesehatan Daerah Surabaya dan Lembaga Penyakit Tropis, Universitas Airlangga, primer FOC 5'-CGCAGATCT-AAAGTAAAGTACTGTCCCTCCT-3' dan ROC 5'-GCCGGC-GAACTGGTAAACCAAGACCCAGCG 3' yang memproduksi 1143 pb, dan FH-5'CGCGGATCAAAATATACTCAGCGCTATTGCTGGC -3' dan RH5'-CATGGCCGGCATCATAATCGACTCGTAGATA-3'(Biolabs, Singapore) yang diperoleh 1008 pb serta *High Fidelity Platinum Taq DNA Polymerase* (Invitrogen), 100 bp DNA Marker (Takara,Jepang) *nuclease free water* (MP Bio), Ethidium Bromide (Sigma), agarose, 6x *loading dye solution* , dan *TBE buffer* 10 x 1lt (Fermentas).

Bahan penelitian yang digunakan untuk kloning gen *ompC* dan *fimH* yaitu produk PCR gen *ompC* dan *fimH* yang telah dipurifikasi, plasmid *pHis1525* (Braunswigh, Jerman), *E.coli DH10 β* dan *Bacillus megaterium DSM310* (Braunswigh, Jerman), media LB (Merck), *Ampicillin* dan *Tetracylin* (Roche, Jerman), gliserol ,CaCl₂ (Merck).

Bahan penelitian yang digunakan untuk analisis struktur DNA plasmid rekombinan yaitu *DNA sequencing kit*, primer forward T7 5'-TAA

TAC GAC TCA CTA TAG GG-3' dan *primer reverse* 5'-TAG TTA TTG CTC AGC GG TGG-3' (Invitrogen), *High-Plasmid Purification Kit* (Roche, Jerman), pOmpC, pFimH , Enzim *Bgl II* dan *NgoMIV* (Biolabs, Singapore), *lambda DNA HindIII restricted Hae II*, agarosa, dan buffer TBE.

Bahan penelitian yang digunakan untuk purifikasi protein rekombinan OmpC dan FimH yaitu kultur transforman *E.coli DH10 β* yang mengandung DNA plasmid rekombinan pOmpC dan pFimH, medium LB yang mengandung 100 μ g/ml ampisilin, IPTG, GuHCL (6 M GuHCL, 0,1M NaH₂PO₄, 0,01M Tris-HCl pH 8), matrik *Ni-NTA*, bufer lisis (50 mM NaH₂PO₄, 300 mM NaCl, 10 mM imidazol, pH 8.0), buffer pencucian (50 mM NaHPO₄, 300 mM NaCl, 20 mM imidazol,pH 8.0), buffer elusi (50 mM NaHPO₄, 300 mM NaCl, dan 250 mM imidazol, pH 8.0).

Bahan penelitian yang digunakan untuk analisis fungsi protein rekombinan yaitu protein rekombinan OmpC dan FimH, Acrylamide (Biorad), Bisacrylamide (Biorad), Tris HCl (KPL), SDS (Biorad), Amonium persulfat (Biorad), 2-Mercaptoethanol (Biorad), Temed (Biorad), Coomasie blue R-250 (Biorad), Methanol absolute (Merck), *Prestain Protein Ladder plus* 10-250 kDa (Biorad), Glycine (Biorad), Tris Base (Biorad), *Hybond nitrocelulose membran* (Amersam), BSA fraksi V (Sigma),*Marker Broad Range Rainbow* (Biorad), dan Substrat BCIP/NBT (KPL).

2.4 Instrumen Penelitian

Alat yang digunakan untuk penelitian adalah *Thermal cycler* (Perkin Elmer), *Mini Protean 3 Electrophoresis Cell* (BioRad), *Mini Trans Blot semidry* (BioRad), *Rocking table* (Metter), *Transluminator (UVP)*, *Power supply* (Biorad), Mikropipet (Biorad), *spectrophotometer UV-Vis* (Beckmann), *microwave* (Hitachi), *microcentrifuge* (Beckmann), *CO₂ incubator* (Thermolyne), *laminar flow hood* (ESCO), *ultra sonicator* (Thermolyne), *shaker waterbath* (Thermolyne), *shaker media* (Thermolyne), *timbangan digital* (Metter), *sterilizer* (Tomy), *vaccum*, *vortex* (Thermolyne), *DNA Sequenser* (ABI Prism 310).

2.5 Lokasi dan Waktu Penelitian

Penelitian dilakukan di Lembaga Penyakit Tropis, Universitas Airlangga Surabaya mulai Januari 2009 sampai dengan Desember 2009.

2.6 Prosedur dan Pengumpulan Data

Pencatatan data dilakukan selama penelitian sesuai dengan prosedur kerja penelitian yang meliputi persiapan, identifikasi, isolasi dan kloning area koding gen *ompC* dan *fimH* *Salmonella typhi*, analisis DNA rekombinan, ekspresi, purifikasi dan analisis protein rekombinan.

2.7 Persiapan

2.7.1 Desain primer

Desain *primer* dilakukan menggunakan *Software Clone Manager*. Data sekuen gen *ompC* and *fimH* diperoleh dari *genbank entrez nucleotide* <http://www.ncbi.nlm.nih.gov/sites/entrez>. Sekuen tersebut meliputi sekuen DNA yang menyandi *ompC* dengan *accession number* yaitu CAA30688; AL627274.1; XO7835.1; AE014613 dan sekuen yang menyandi gen *fimH* dengan *accession number* AE014613.1, AL627267.1. Sekuen tersebut digunakan sebagai dasar dalam desain *primer*.

2.7.2 Amplifikasi dengan PCR

PCR dilakukan dengan sepasang primer yaitu dengan *forward primer* FOC 5'-CGCAGATCT-AAAGTTAAAGTACTGTCCCTCCT-3' dan ROC 5'-GCCGGC-GAACTGGTAAACCAGACCCAGCG 3' (Biolabs, Singapore), yang memproduksi 1143 pb. Pasangan primer untuk gen penyandi *fimH* yaitu FH 5'-CGCGGATCAAAATATACTCAGCGCTATTGCTGGC-3' dan RH 5'-CATGGCCGGCATCATAATCGACTCGTAGATA-3' (Biolabs, Singapore).

Master mix untuk reaksi amplifikasi adalah 10X *high fidelity PCR buffer* 5 μ l, 10 mM dNTP mix 4 μ l, 50 mM MgSO₄ 1 μ l, *primer forward* 1 μ l (50 pmol/ μ l), *primer reverse* 1 μ l (50 pmol/ μ l), *template DNA* 5 μ l, *platinum tag high fidelity* 0,5 μ l, *distilled water* sampai volume total 50 μ l. Kondisi PCR yaitu *predenaturasi* pada 96°C selama 5 menit, *denaturasi* pada 96°C selama 1 menit, *annealing* pada 60°C 1 menit, *extension* pada 72°C 1 menit, 35 siklus dan *final extension* pada 72°C selama 10 menit.

Hasil PCR dianalisis dengan gel elektroforesis pada gel agarose 1,5% yang mengandung *ethidium bromide*. 5 μ l DNA ditambahkan 2 μ l *loading dye* dimasukkan pada sumuran agarose. Kemudian dijalankan dengan tegangan 100 volt selama kurang lebih 30 menit. Selanjutnya dideteksi dengan UV-transluminator dan difoto dengan kamera polaroid.

2.7.3 Purifikasi

Produk PCR yang dihasilkan harus dipurifikasi terlebih dahulu untuk persiapan kloning. Apabila hasil visualisasi didapatkan *extra band*, maka terlebih dahulu produk PCR *dirunning* pada agar *low melting* 1,5% lalu *band* yang diinginkan diambil dengan pemotongan, setelah itu baru dilakukan purifikasi menggunakan *Gel PCR Purification kit* (Qiagen). Tahapan purifikasi adalah potongan pita dimasukkan ke dalam *tube* lalu ditambahkan bufer QG sebanyak 300 μ l/*tube*. *Tube* dipanaskan 55°C selama 10 menit. Setelah itu ditambahkan isopropanol sebanyak 100 μ l/ *tube* dan dicampur merata dengan *pipeting*. Setelah itu larutan tersebut dimasukkan pada kolom, lalu disentrifus 12.000 rpm selama 1 menit. Cairan *flow through* dibuang, lalu ditambahkan bufer PE sebanyak 750 μ l/*tube*, disentrifus 12.000rpm selama satu menit dan cairan *flow through* dibuang. *Tube* disentrifus kembali untuk menghilangkan sisa-sisa kotoran yang masih tertinggal. Setelah itu ditambahkan *distilled water* sebanyak 20-50 μ l/*tube*, lalu disentrifus 12.000rpm selama satu menit dan produk PCR yang telah dipurifikasi ditampung dan siap untuk digunakan kloning.

2.7.4 Kloning gen penyandi *ompC* dan *fimH* *Salmonella typhi*

2.7.4.1 Insersi gen penyandi *ompC* dan *fimH* ke *pHis 1525*

Hasil purifikasi produk PCR dikloningkan pada vektor ekspresi *pHis1525* yang mempunyai penanda histidin untuk memudahkan purifikasi protein rekombinan. Campuran reaksi yaitu 1 μ l buffer, 1,5 μ l produk PCR, dan 0,5 μ l vektor yang dicampur dengan pipet. Volume total 3 μ l. Diinkubasi pada es selama 5 menit kemudian langsung ditransformasi ke *E.coli DH10 β* untuk karakterisasi DNA target.

2.7.4.2 Transformasi ke dalam *E.coli DH10 β*

E.coli DH10 β diinokulasi pada media 500 ml LB cair, kemudian dilakukan shaker kurang lebih 2 jam pada suhu 37°C sehingga didapatkan OD₆₀₀ sekitar 0,4-0,6. Sel inokulum kemudian direndam es selama 30 menit, lalu disentrifugasi dengan kecepatan 4000rpm. Supernatan dibuang dan pelet yang berisi *E.coli DH10 β* oli dicampur dengan CaCl₂ steril 100mM dingin sebanyak 50ml. CaCl₂ dicampur perlahan dengan pelet *E coli* kemudian dilepaskan dalam es selama 30 menit dan digoyang sesekali. Kemudian dilakukan sentrifugasi dengan kecepatan 3000 rpm dan kemudian pelet dikoleksi. Pelet ditambah CaCl₂ 100mM sebanyak 10 ml, diresuspensi dan didiamkan selama 1-2 jam pada es, lalu dialiquot dan disimpan pada -80°C sampai akan digunakan. Sel kompeten *E.coli DH10 β* siap digunakan untuk transformasi.

Transformasi DNA target ke *E.coli DH10 β* dengan cara: aliquot *ligation mix* (3 μ l) ditransfer ke 200 μ l sel kompeten *E.coli DH10 β* dengan berhati-hati dan dibiarkan pada es selama 30 menit. Tube dipindahkan ke water bath 42°C selama 45detik untuk *heat shock*, kemudian direndam pada es selama 5 menit. Setelah itu kemudian ditambahkan 900 μ l media LB cair pada suhu kamar dan diinkubasi selama 60 menit pada water bath suhu 37°C, kemudian diambil 25 μ l, 50 μ l dan 75 μ l untuk disebar pada media LB padat yang mengandung 100 μ g/ml ampicilin, kemudian dikultivikasi pada inkubator suhu 37°C selama 16 jam. Kontrol negatif menggunakan *E.coli* yang sama namun ditransformasi dengan *destilated water* dengan prosedur yang sama pula.

2.7.4.3 Isolasi Plasmid

Sel transforman yang mengandung DNA target diinokulasi pada 10ml media LB cair yang mengandung ampicilin 100mg/ml. Kultur diinokulasi semalam (*overnight*) dalam shaker incubator pada 37°C dengan shaker 200 rpm.

Isolasi DNA plasmid dilakukan dari hasil kultur yang berumur 24 jam dengan menggunakan kit *High Pure IsolatonPlasmid kit* (Roche, Jerman). Hasil berupa DNA rekombinan atau plasmid rekombinan yang siap untuk

digunakan analisis sekuen dan restriksi dan siap ditransformasikan ke *E.coli* *DH10 β* untuk uji ekspresi.

2.7.4.4 Analisis plasmid rekombinan *ompC* dan *fimH*

Analisis plasmid rekombinan yaitu analisis sekuen nukleotida dari DNA target yang terdapat pada plasmid untuk mengetahui keberhasilan kloning. Analisis ini meliputi uji restriksi dengan enzim restriksi dan sekuensing yang meliputi analisis bioinfomatika dan analisis homologi.

2.7.4.5 Restriksi plasmid rekombinan *ompC* dan *fimH* dengan enzim *Bgl II* dan *NgoMIV*

Restriksi plasmid rekombinan *ompC* dan *fimH* dilakukan menggunakan enzim *Bgl II* dan *NgoMIV* yang memotong pOmpC dan pFimH. Hasil restriksi berupa pita dua band. Campuran reagen adalah 7 μ l *double destiled water*, 2 μ l *digest buffer*, 10 μ l DNA plasmid, 1 μ l *Bgl II* dan *NgoMIV* dengan total volume 20 μ l. *Reaction mix* dicampur dengan pipet kemudian diinkubasi pada suhu 37°C selama 60 menit. Hasil restriksi kemudian dielektroforesis dengan agarose 1% yang mengandung *ehtidium bromide* pada 50 volt dan divisualisasi dengan gel dok camera (kodak).

2.7.4.5 Sekuensing plasmid rekombinan Protein Membran LuarC dan FimbriaH *Salmonella typhi*

Sekuensing plasmid rekombinan Protein Membran LuarC dan FimbriaH *Salmonella typhi* pada penelitian ini menggunakan DNA Sequenser ABI PRISM 310 dengan metode Sanger. Primer yang digunakan adalah *primer forward T7* 5'-TAATACGACTCACTATAGGG-3' dan *primer reverse 5'-TAGTTATTGCTCAGCGGTGG-3'*. Hasil sekuensing dianalisis bioinformatika dan homologi. Analisis bioinformatika meliputi analisis data sekuen gen *ompC* dan *fimH* *Salmonella typhi* dari penderita demam tifoid dengan Software *Clone Manager*, penelusuran data gen penyandi *ompC* dan *fimH* di *genbank*, analisis karakter protein rekombinan Protein Membran LuarC dan FimbriaH *Salmonella typhi* melalui situs *Expasy ProtParam* (Gasteiger E et al, 2003) di <http://www.expasy.ch/tools/protparam.html>, dan analisis hidrofobositas dengan software *Genetyc-Win*. Analisis homologi

dilakukan pada situs *European Bioinformatic Institute*
<http://www.ebi.ac.uk/Tools/clustalw2/>.

Pelabelan dan presipitasi untuk sekuensing dengan menggunakan kit *Bigdye Terminator v1.1 cycle sequencing kit*. Campuran reagen yang digunakan untuk *labelling* produk PCR yaitu 4 μ l *Ready Reaction Premix* (2,5X), 2 μ l *Big dye sequencing buffer* (5X), 1 μ l *primer* (4pmol), 5 μ l sampel hasil purifikasi, 8 μ l *double destilated water*. Volume total 20 μ l. Mineral oli diteteskan di atas *mix* larutan tersebut. Kondisi labeling yaitu *predenaturasi* 95°C 1 menit, *denaturasi* 96°C 30 detik, *annealing* 50°C 15 detik, *extension* 60°C 4 menit, 25 siklus.

Hasil pelabelan kemudian dipresipitasi. Mencampurkan reagen 2,5 μ l EDTA, 5 μ l sodium asetat, dan 50 μ l alkohol dengan pipet. Mengambil semua produk yang telah dilabel, dipisahkan dari mineral oil dengan meneteskan pada parafilm. Produk yang telah terpisah dengan mineral oil diambil kemudian dimasukkan ke *tube* di langkah 1. Campur dengan pipeting kemudian diinkubasi pada suhu ruang selama 10 menit. Sentrifuse 15.000 rpm, 30 menit, pada 4°C dan supernatan dibuang. Menambahkan alkohol 70% 100 μ l. Disentrifuse 15.000 rpm 15 menit, 4°C kemudian supernatan dibuang. *Tube* dikeringkan dengan *speed vacuum* selama 15 menit. Menambahkan 25 μ l HD Formamide kemudian dipanaskan pada 95°C 5 menit. Didinginkan pada es selama 10 menit kemudian dimasukkan mesin sekuensing. Sekuensing dilakukan dengan alat DNA sequenser (ABI Prism 310).

2.8 Analisis Hasil Penelitian

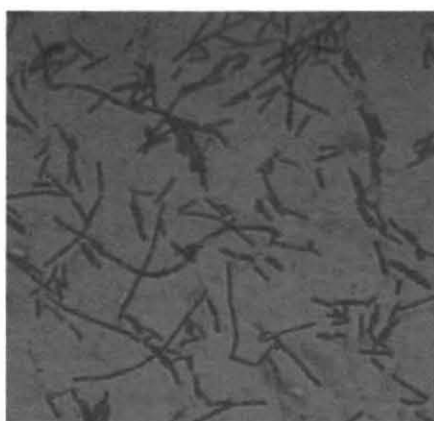
Penelitian ini merupakan penelitian diskriptif sehingga tidak memerlukan analisis statistik. Data yang diperoleh disajikan dalam bentuk narasi dan gambar.

BAB III

HASIL PENELITIAN

3.1 Kultur Stok dan Identifikasi *Salmonella typhi*

Empat puluh dua stok *Salmonella typhi* dikultur ulang dan diidentifikasi dengan pengecatan Gram dan API 20 E. Hasil yang menunjukkan positif *Salmonella typhi* adalah sampel no 8,9,34,35,37,38.



Gambar 3.1 Pengecatan Gram Isolat *Salmonella typhi*

3.2 Hasil Identifikasi biokimia isolat *Salmonella spp*

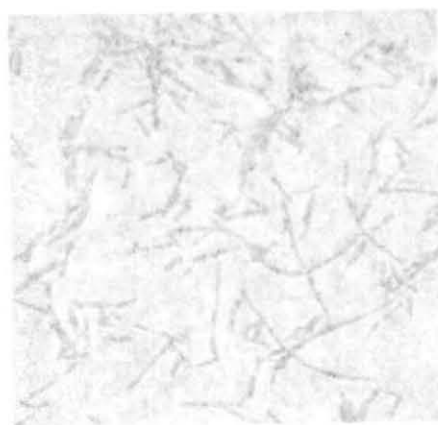
Empat puluh empat sampel dilakukan pengujian ulang dengan 21 item reaksi biokimia yang menghasilkan 6 sampel isolat yang sama karakternya dengan *Salmonella typhi* (tabel 3.1).

3.3 Desain Primer

Desain primer dilakukan menggunakan Software *Clone Manager* dengan data sekuen gen *ompC* dan *fimH* *Salmonella typhi* dari *GeneBank entrez nucleotide* <http://www.ncbi.nlm.nih.gov/sites/entrez>. Sekuen tersebut meliputi sekuen DNA yang menyandi *ompC* dengan *accession number* yaitu AE014613.1, AL627274.1,M31424.1, FJ009676.1 dan sekuen *fimH* yang menyandi FimbriaH dengan *accession number* X.

Berdasarkan sekuen tersebut kemudian didesain primer oligonukleotida untuk identifikasi gen *ompC* yaitu FOC 5'-CGCAGATCT-AAAGTTAAAGTACTGTCCCTCCT-3' dan ROC 5'-GCCGGC-

3.4 Kultur Stok dan Isolatifikasi Salmonella Jepun
Embsi pada sato pada selama 15 hari ditunjukcau
dilidikilksi dengan penyelesaian yang diberikan oleh
makanan kanku besi Salmonella Jepun adalah pada 8,8,34,35,36,37



Gambar 3.4 Pendekatan Cultivasi Salmonella Jepun

3.5 Hasil Isolatifikasi Ploidimis isolat Salmonella Jep
Embsi pada embsi selama dilakukan penyelesaian yang dilakukan oleh
lembaga ploidimis yang mendapatkan sampai hasilnya pada 24 jam pertama
dengan Salmonella dapat (Sampel 3)

3.6 Desain Hammer

Dasar dari bukti dilakukan mendukungnya sekitar Cina Wu-ti
dilakukan dengan teknologi DNA dan genetika Salmonella Jepun dengan
bantuan teknologi DNA dan genetika Salmonella Jepun dengan
membangun sekmen DNA yang menyebabkan dengan kesesuaian karakteristik
AEOTAKES J. ALASTAIR, MASTERS, E. 20009871 dan sekmen Jepun yang
menyatakan bahwa Salmonella Jepun secara teknologi
genetik secara teknologi terdiri dari karakteristik
nuklear dan mitokondria dan dalam hal ini
AAATTTAAAGCTTCCCGCT-C.

GAACCTGGTAAACCAGACCCAGCG- 3' (Biolabs, Singapore). Gen *fimH* digunakan primer FH 5'-CGCGGATCAAA TATACTCAGCGCTATTGCTGGC-3' dan RH 5'-CATGGCCGGCATCATAATCGACTCGTAGATA- 3'. Pasangan *primer forward* dan *reverse* mengamplifikasi DNA *ompC* dan *fimH* *Salmonella typhi* menghasilkan produk 1143 dan 1008 pb.

Tabel 3.2 Hasil analisis *primer FOC* dan *ROC*

	<i>Primer Forward</i>	<i>Primer Reverse</i>	Comment
<i>Primer</i>	FOC	ROC	-
<i>Sequence</i>	CGCAGATCT- AAAGTTAAAG TACTGTCCCTCCT	GCCGGC-GAACCTGG TAAACCAGACCCAGCG	-
<i>Primer evaluation</i>			
Lenght	32	29	3 bases difference
%GC	43	55	12 % difference
Tm °C	60 ¹ 69 ²	67 ¹ 77 ²	7 ¹ 8 ² C difference
3'Dimer	2	2	A:B 2
Dimer-Any	6	6	A:B 4
Stability (kcals)	0,3	-0,9	Low selectivity
Run of bases	3	3	-
Repeats(dinuc)	None	None	-
Hair pains	None	None	-

Tabel 3.3 Hasil analisis *primer FH* dan *RH*

	<i>Primer Forward</i>	<i>Primer Reverse</i>	Comment
<i>Primer</i>	FH	RH	-
<i>Sequence</i>	CGCGGATCAAAA TATACTCAGCGC TATTGCTGGC	CATGGCCGGCAT CATAATCGACTC GTAGATA	-
<i>Primer evaluation</i>			
Lenght	34	31	3 bases difference
%GC	50	48	2 % difference
Tm °C	65 ¹ 73 ²	54 ¹ 70 ²	11 ¹ 3 ² C difference
3'Dimer	2	2	A:B 3
Dimer-Any	6	6	A:B 3
Stability (kcals)	1,1	2,1	Low selectivity
Run of bases	4	2	Runs found
Repeats (dinuc)	2	None	-
Hair pains	None	None	-

Tabel.3.1 Hasil Uji Biokimia Isolat *Salmonella spp* dari Penderita Demam Tifoid

NO		ISOLAT																						
		8	9	17	18	19	21	22	23	24	25	26	27	28	29	30	31	32	33	34	37	38	40	41
1	Glukosa	+	+	+	+	-	-	+	-	-	+	+	+	+	+	-	-	+	+	+	+	-	+	+
2	Nitrat	-	-	+	-	+	-	-	-	-	-	-	-	-	+	-	-	-	-	-	-	-	-	-
3	Lysine	+	+	-	+	-	-	+	+	-	-	+	+	-	+	+	-	+	+	+	+	-	+	+
4	Orenthine	-	-	-	-	+	-	-	+	-	-	-	-	-	+	-	-	-	-	-	+	-	-	-
5	Sorbitol	+	-	-	+	+	+	+	+	+	+	+	+	+	+	+	+	+	+	+	+	+	+	+
6	Manitol	+	+	+	+	-	-	+	-	-	+	+	+	+	-	-	+	+	+	+	+	-	+	+
7	Arabinose	+	+	-	-	+	-	+	+	-	+	+	+	-	+	+	-	+	+	+	+	-	+	+
8	H ₂ S	-	+	-	+	-	-	+	-	-	+	-	-	-	-	+	+	+	+	+	-	-	-	-
9	Indole	-	-	+	-	-	+	-	-	+	-	-	-	-	-	+	-	-	-	-	+	-	-	-
10	Urease	-	-	+	+	-	-	-	-	-	-	-	-	-	+	-	-	+	-	-	-	-	-	-
11	Arginin	-	-	-	+	-	-	-	-	-	-	-	-	-	-	-	+	-	-	-	-	-	-	-
12	Sacarose	-	-	-	+	-	-	-	-	-	-	-	-	-	-	-	+	-	-	-	-	-	-	-
13	Raff	-	-	-	-	-	+	-	-	+	-	-	-	-	-	-	+	-	-	-	-	+	-	-
14	Rhamnose	-	-	+	-	-	+	-	-	+	-	-	-	-	-	+	-	-	-	-	-	+	-	-
15	Malonate	-	-	+	+	-	+	-	-	+	-	-	-	-	+	-	+	-	-	-	+	-	-	-
16	TDA	-	-	-	+	-	+	-	-	+	-	-	-	-	+	-	+	-	-	-	+	-	-	-
17	Vp	-	-	-	-	-	-	-	-	-	-	-	-	-	-	-	-	-	-	-	-	-	-	-
18	Citrate	+	+	-	+	+	+	+	+	+	+	+	+	+	+	+	+	+	+	+	+	+	+	+
19	Inositol	-	-	+	-	-	+	-	-	+	-	-	-	-	-	+	-	-	-	-	+	-	-	-
20	Adalose	-	-	-	+	-	-	-	-	-	-	-	-	-	-	-	-	-	-	-	-	-	-	-
21	ONPG	-	-	-	+	-	+	-	-	+	-	-	-	-	+	-	-	+	-	-	-	+	-	-

Keterangan : Tanda + = hasil biokimia yang menunjukkan reaksi positif yang ditandai dengan perubahan warna media uji sesuai petunjuk pabrik

Tanda - = hasil biokimia yang menunjukkan reaksi negatif yang ditandai dengan perubahan media uji sesuai dengan petunjuk pabrik

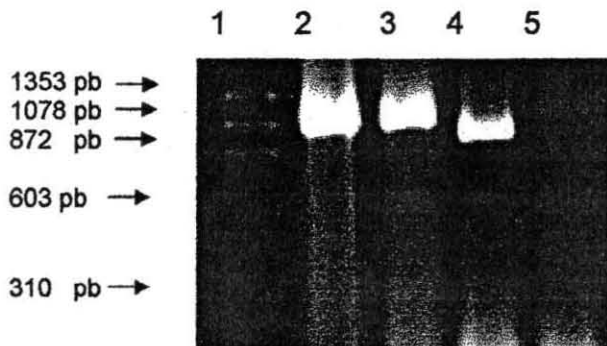
(Media biokimia yang digunakan adalah API 20E Biomeuriux)

3.4 Isolasi Seluruh Area Koding Gen *ompC* dan *fimH* *Salmonella typhi*

Amplifikasi seluruh area koding gen *ompC* dan *fimH* *Salmonella typhi* diperlukan untuk analisis gen penyandi protein OmpC dan FimH yang dilakukan dengan PCR. Berdasarkan hasil optimasi kondisi PCR yang digunakan pada penelitian ini adalah untuk amplifikasi gen *ompC* yaitu *predenaturasi* dilakukan pada 96°C selama 5 menit 1 siklus, denaturasi 96°C selama 1 menit, *annealing* 60°C selama 1 menit dan *extension* 72°C selama 1 menit, selama 35 siklus, kemudian *final extension* pada 72°C 10 menit. Hasil PCR dengan menggunakan primer FOC dan ROC menunjukkan *band* sekitar 1100 pb. Hasil optimasi PCR dengan primer FH dan RH adalah *predenaturasi* dilakukan pada 96°C selama 5 menit 1 siklus, denaturasi 96°C selama 1 menit, *annealing* 58°C selama 1 menit dan *extension* 72°C selama 1 menit, selama 35 siklus, kemudian *final extension* pada 72°C 10 menit menunjukkan *band* sekitar 1000 pb. Produk PCR dielektroforesis kemudian divisualisasikan dengan UV-transluminator dan didokumentasikan dengan kamera polaroid yang ditampilkan pada Gambar 3.2.

Produk PCR yang dihasilkan dipurifikasi terlebih dahulu dengan menggunakan *Gel Extraction Kit* (Qiagen) untuk persiapan kloning. Hasil visualisasi produk PCR pada elektroforesis didapatkan *extra band*, sehingga sebelum purifikasi terlebih dahulu dilakukan *running* produk PCR pada agar *low melting* 1,5%, pita yang diinginkan diambil dengan pemotongan lalu dicampur dengan *buffer QG*. *Buffer* ini mengandung pH indikator. Pengikatan yang optimal antara DNA terhadap membran silika gel membutuhkan pH ≤ 7,5. yang akan memberikan warna kuning. Tetapi jika pH terlalu tinggi, maka akan dihasilkan warna ungu (Qiagen, 2002). Setelah DNA terikat pada membran, dilanjutkan dengan proses pencucian DNA untuk menghilangkan *unwanted primer* dan pengotor lain seperti garam-garam, sisa enzim, agarosa, pewarna, etidium bromida, *mineral oil* dan deterjen yang tidak terikat pada membran silika gel. Penambahan *buffer PE* yang mengandung ethanol, membuat pengotor akan mengalir keluar dari matrik kolom melalui tahapan sentrifugasi. DNA yang terikat pada membran dielusi dengan penambahan *buffer elusi* sebanyak 50µl tepat pada bagian

tengah dari membran dan DNA purifikasi yang didapat sebagian dielektroforesis untuk mengetahui keberhasilan tahapan purifikasi dan siap digunakan untuk kloning.



Gambar 3.2. Hasil elektroforesis PCR seluruh area koding gen *ompC* dan *fimH* dari isolat *Salmonella typhi* 1= Marker λ x 174 RF DNA /*Hae III fragments*, 2= produk PCR sampel no 8 *ompC* (\pm 1200 bp), 3= produk PCR sampel no 9 *ompC* (\pm 1100 bp), 4= produk PCR sampel no 8 *fimH* (\pm 1000 bp), 5 = produk PCR sampel no9 *fimH* (\pm 1000 bp).

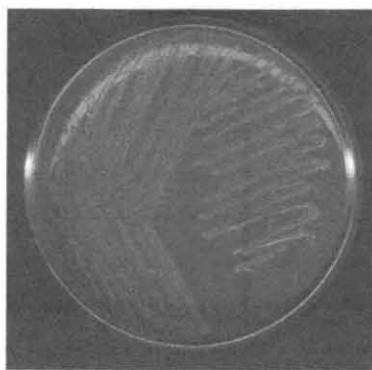
3.5 Kloning Gen Penyandi *ompC* dan *fimH* *Salmonella typhi*

3.5.1 Insersi gen penyandi *ompC* dan *fimH* ke *pHis1525*

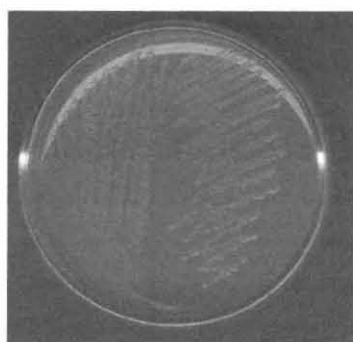
Produk PCR yang telah dipurifikasi kemudian diinsersikan ke plasmid. Plasmid yang digunakan yaitu *pHis1525* dengan cara memotong plasmid sirkuler dan produk PCR tersebut dengan enzim *Bgl II* dan *NgoMIV*. Hasil ligasi kemudian dilakukan transformasi ke inang *E.coli DH10 β* .

3.5.2 Transformasi ke dalam *E.coli DH10 β*

Hasil insersi ditransformasikan ke dalam *E.coli DH10 β* kemudian dikulturkan pada media Luria Bertani (LB) mengandung ampisilin (100 μ g/ml). Sel transforman *E.coli DH10 β* yang mengandung plasmid rekombinan pOmpC dan pFimH.



Gambar 3.3 Hasil kultur sel transforman *E.coli DH10 β* yang mengandung plasmid rekombinan pOmpC



Gambar 3.4 Hasil kultur sel transforman *E.coli DH10 β* yang mengandung plasmid rekombinan pFimH

3.6 Sekuensing plasmid rekombinan pOmpC dan pFimH

Sekuensing pada penelitian ini dilakukan dari hasil isolasi plasmid klon *E.coli DH10 β* yang mengandung plasmid rekombinan pOmpC dan pFimH dengan menggunakan *primer forward* T7 5'-TAA TAC GAC TCA CTA TAG GG-3' dan *primer reverse* T7 5'-TAG TTA TTG CTC AGC GGT GG-3'.

Hasil sekuensing dianalisis bioinformatika dan analisis homologi. Analisis bioinformatika meliputi analisis data sekuen gen *ompC* dan *fimH* hasil kloning dari isolat *Salmonella typhi* no 8 dan 9 dengan Software *Clone Manager*, penelusuran data gen penyandi *ompC* dan *fimH* dan asam amino OmpC dan FimH di *genbank*, analisis karakter protein rekombinan OmpC dan FimH melalui situs *Expasy ProtParam* (Gasteiger E et al, 2003) di <http://www.expasy.ch/tools/protparam.html>.

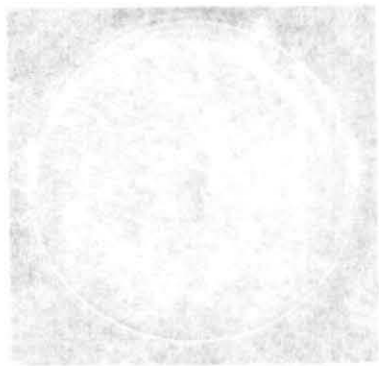


Figure 8: Hash 1 from the transmission channel to the receiver's watermark.

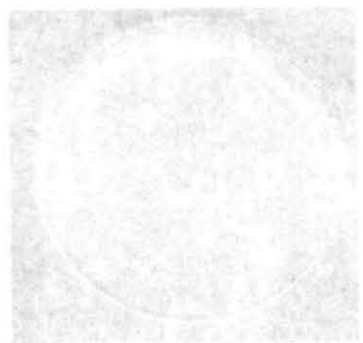


Figure 9: Hash 2 from the receiver's watermark.

Sehr interessant bleibt eine Rekonstruktion des QR-Codes aus dem Bild. Es kann hierbei auf die oben beschriebene Methode zurückgegriffen werden. Der QR-Code besteht aus einer 2D-Matrix aus schwarzem und weißem Bereich. Die schwarzen Bereiche sind durch einen Wert von 1 markiert, während die weißen Bereiche den Wert 0 haben. Um die Matrix zu dekodieren, wird sie in ein 2D-Gitter von 0 oder 1 übertragen. Dieses Gitter kann dann mit einem Liniensuchalgorithmus untersucht werden, um die Position der vier Eckpunkte zu bestimmen. Diese Punkte dienen als Orientierungspunkte für die Decodierung des QR-Codes. Der Inhalt des QR-Codes kann dann über die bekannten Verfahren der Decodierung ermittelt werden. Ein Beispiel für die Decodierung eines QR-Codes ist in Abbildung 8 dargestellt. Es zeigt den 2D-Gitter, das aus den schwarz-weißen Quadranten besteht, sowie die Position der vier Eckpunkte, die zur Decodierung benutzt werden. Die Decodierung selbst ergibt den Inhalt des QR-Codes, der in diesem Fall die URL www.google.com darstellt.

Sekuen gen *ompC* dan *fimH* hasil kloning dari isolat *Salmonella typhi* no 8 dan 9 hasil dari penelitian ini sudah terdaftar pada *genbank entrez nucleotide* <http://www.ncbi.nlm.nih.gov/sites/entrez> dengan *accession number* AE014613 dan AL627274.1 untuk nukleotida *ompC* dan NP455136 dan NP456812.1 untuk protein OmpC. Demikian pula, hasil sekuensing gen *fimH* mempunyai homologi dengan *accession number* AE014613 dan AL627267.1 untuk nukleotida *fimH* dan NP455136; ABK76650.1 dan YP215573.1 untuk protein FimH. Hasil tersebut ditunjukkan pada lampiran 3.1.

3.6.1 Pengurutan nukleotida Hasil PCR sampel 8 (*ompC*)

a. *Forward Sequences* (± 231 bp)

ctggatacca	gctctgctgg	aggggggcgca	gcgattgcgg
ctgaaattat	aataaagacg	gaaacaaaatt	agacctgttt
ggtaaagttg	atggcctgca	ctacttctct	gacgacaaag
gcagcgcacgg	cgaccagacc	tacatgcgta	tcggcttcaa
aggctaaacg	caggttaacg	atcttctgac	cggtttatccc
cagtggaaat	ttttttccg	ggcaacctta	t

b. *Reversed Sequences* (± 427 bp)

tgctacgatg	tgcgtcggtgt	tgcggccgc	agcgcgggta
aagtgcgttt	tatccagcag	gttgcattttg	taatcaacat
aggtaggacat	aagtgcgttt	aagtagtaag	tcgcgccgac
atcaacgtat	tttacgatgt	cctggtcgcc	atagctggcg
ccgttagccgt	tgctgatcga	cttaccttta	gactgcaggt
aagccacaga	cggacgcaga	ccaaagtgcga	actggtactg
agcaaccact	tcaaagttct	gcgccttgcgt	gccaaaaccg
taagattttt	gattgggttgc	tgccgttgcgt	agtgttgcgt
tatatgtctg	aaaatactgc	gctgccatata	aatgttgcgt
ctcacctatt	tcacgccacc	agtgaaaacc	gagacgagat
ctctgttaca	gtataggtga	gctttaa	

3.6.2 Pengurutan Nukleotida Hasil PCR sampel 9 ompC (\pm 1093 bp)

tggtagct	ctgctggtgg	cggcgccagc	gaatgcggct
gaaattata	ataaagacgg	caacaaatta	gacctgtttg
gtaaaaggta	tggcctgcac	tacttctctg	acgacaaagg
cagcgacggc	gaccagacct	acatgcgtat	cggcttcaa
ggcgaaacgc	aggttaacga	tcagctgacc	ggttatggcc
agtggaaata	tcagattcag	ggcaaccaga	ctgaaggcag
caacgactcc	tggacgcgtg	tggcggttgc	gggtttgaaa
tttgctgacg	caggtccctt	cgattatggt	cgtaaattac
ggcgtaacct	atgacgtgac	ctcctggacc	gacgttctgc
cggagttcgg	cggcgacacc	tacggcgctg	acaactttat
gcagcagcgt	ggtaacgggc	tatgctacct	accgtaacac
cgacttcttc	ggtctggtgg	atggtctgga	cttcgcgttg
cagtatcagg	gcaaaaacgg	cagcgtgagc	ggtgaaaaca
ccaacggtcg	cagcctgctg	aaccagaacg	gcgacggta
cggcggatcg	ctgacttatg	caatcggcga	aggcttctcc
gtcggtggcg	ctatcaccac	gtctaaacgt	actgccgatc
agaacaacac	cgctaacgct	cgcctgtatg	gtaacggcga
tcgcgccacg	gtttacaccg	gcggcctgaa	atacgatgcg
aacaacatct	atctggcagc	gcagtattct	cagacctata
acgcaacccg	ttttggtacc	ttctacggca	gcaaccgtc
cacctcttac	ggttttgcca	acaaagcgca	gaactttgaa
gtggttgctc	agtaccagtt	cgacttttgt	ctgcgtccgt
ctgtggctta	cctgcagtct	aaaggtaagg	acatcagcaa
cggctacggc	gccagctatg	gcgaccagga	catcgtaaaa
tacgttgatg	tcggcgcgac	ttactacttc	aacaaaaaca
tgtccaccta	tgttgattac	aaaatcaacc	tgctggataa
aaacgactta	cccgcgatgc	gggcatcaac	accgacgaca
tcgtaga			

3.6.3 Pengurutan Nukleotida Hasil PCR sampel 8 fimH (\pm 911 bp)

attacaaacg	ggacggcgac	cgatatctt	tatgacctgt
cagatgtttt	caccagcgac	aataatcago	cgggacaggt
ggtgacgctg	ctgaaaaaat	cagattggtg	cggcgtaaac

gcgacgtgcc	cggcgaaaaac	aacggtaat	tataacctacc
gaagctatgt	atcagaattaa	ccggtacaaa	gcaccgaagg
aaattttaaa	tacctcaagt	tgaatgacta	ccttctggc
gcatgagca	taaccgatag	tgtcgctggc	gtattttatc
cgcggctaa	ctatattcgc	atggcgctcg	acttcaacgt
gtcgagcaa	aagccgttg	gcgtgcagga	ctcaaagctg
gtttttaaat	taaaaagtga	tactgcctt	ttattaatat
agtgacgatc	ccccgcccaga	caatgttat	ccgtctaagt
gacgacctct	accggcgacg	cgtttagcac	gccggtgtat
accattagct	acagcggcaa	agtggaaagta	ccgcaaaaact
gtgaagtgaa	tgccggacag	gtcgtggagt	ttgatttcgg
cgtatcgcc	gcgcccgttat	ttagtcaggc	gggagcgggt
aatcgccgc	aaggcgtcac	gccgcaagcg	aaaactatcg
ctatcaaatg	taccaacgtc	gcggcgcaag	cctatttatac
gatgcggctt	gaagccgaaa	aggcctcagg	gcaggcgatg
gtgtccgata	acccggattt	aggcttgtg	gttgctaata
gcaacggtac	gccgctcaca	cccaataatt	tgtcagtaaa
aattccgttt	catcttgatg	ataacgcccgc	cgctcgcgta
ggtattcgcg	cctggccgat	caacgtgaca	gggaataaac
cggcgaaaga	ccgtttactg	cgggcaagca	t

3.6.4 Pengurutan Nukleotida Hasil PCR sampel 9 fimH (\pm 935 bp)

Agaaaaaagaa	ccttcccgtg	caggcgacgg	acgtcgtaat
tggggcgaaa	cggcgaccga	tatcttttat	gacctgtcag
atgttttcac	cagcggcaat	aatcagccgg	gacaggtgg
gacgctgctg	aaaaaaatcag	attggtgcgg	cgtaaacgcg
acgtgcccgg	cggggacaac	ggtgaattat	acctaccgaa
gctatgtatc	agaattaccg	gtacaaagca	ccgaaagaaa
ttttaaatac	ctcaagttga	atgactacct	tctggcgcg
atgagcataa	ccgatagtgt	cgtggcgta	ttttatccgc
cccgtaacta	tattcgcatg	ggcgctcgact	ctaacgtgtc
gcagcaaaag	ccgtttggcg	tgcaggactc	aaagctggtt
tttaaattaa	aagtgatacg	gcctttatt	aatatagtga
cgtcccccg	ccagacaatg	tttaccgtct	atgtgacgac

ctctaccggc	gacgcgttga	gcacgccggt	gtataccatt
agctacagcg	gcaaagtgga	agtaccgcaa	aaactgtgaa
gtgaatgccg	gacaggtcgt	ggagtttgat	tttcggcgat
atcgggcgcg	ccgttatttt	agtcaaggcgg	gagcgggtaa
tgcgtccgcaa	ggcgtcacgc	cgcaagcgaa	aactatcgct
atcaaatgtc	caacccctt	ggcgaagct	tatttatcga
tgcggctttg	aatcctaaaa	ggcctaagg	caaggcaatg
gtgtctgata	accgggtatt	aggctctggg	gtatgtataa
agcacagacg	ccggctcata	cccaataatt	tgtcgagtaa
aattccgttt	catcttgatg	ataacgccgc	cgctcgcgta
ggtattcggt	cccgtccgat	cagcatgcca	ggaaaaaaca
gcccttttct	gccgt		

3.7 Analisis homologi

Analisis homologi dilakukan pada situs *European Bioinformatic Institute* <http://www.ebi.ac.uk/Tools/clustalw2/>. Analisis sekuen hasil sekuensing gen *ompC* menunjukkan bahwa terdapat homologi 99 % dengan accession number AL627274, AE014613.1, M31424.1, FJ009676.1 (Lampiran 3.2).

Analisis homologi sekuen gen penyandi *fimh* pada penelitian ini dengan sekuen yang terdapat di *GeneBank* menunjukkan bahwa bahwa terdapat homologi 94% (Lampiran3.3)

BAB IV

PEMBAHASAN

5.1 Kultur dan Identifikasi *Salmonella typhi*

Kultur 42 stok bakteri *Salmonella typhi* yang dikoleksi dari RSUD DR.Soetomo dan Balai Laboratorium Kesehatan Daerah diverifikasi ulang guna mendapatkan validitas uji dalam menentukan spesies bakteri secara fenotipik yang akurat. Adapun langkah yang ditempuh adalah penanaman ulang 42 stok bakteri *Salmonella typhi* pada media selektif *Salmonella Shigella Agar* (SSA), pengecatan Gram, uji katalase dan reaksi API 20 E (Biomeurix). Pemilihan SSA disebabkan karena *Salmonella typhi* tidak mempunyai kemampuan dalam meragi laktosa sehingga tampak berwana bening atau colorless. Koloni yang tumbuh dilakukan pengecatan Gram guna mengetahui bentuk, susunan serta sifat terhadap pengecatan Gram. *Salmonella typhi* adalah bakteri berbentuk batang, tipis, berukuran antara $2-4 \times 0,2 \mu\text{m}$, bersifat aerob dan Gram negatif atau memberi warna merah pada pengecatan Gram.

Selanjutnya dilakukan identifikasi dengan menggunakan API 20 E yang mempunyai spesifitas reaksi berdasarkan perubahan warna indikator dalam masing-masing media. Hasil fermentasi *Salmonella typhi* pada media uji akan menunjukkan hasil identifikasi yang akurat. Ketepatan dalam proses pemilihan koloni sangat menentukan ketepatan identifikasi API 20 E, karena jika terjadi kontaminasi dengan selain koloni *Salmonella typhi* maka interpretasi hasil pembacaan menjadi salah. Perubahan warna dalam media uji akan dianalisa oleh piranti lunak yang disediakan oleh kit API 20E.

Hasil penelitian menunjukkan bahwa 6 isolat yang berasal dari 42 stok adalah *Salmonella typhi* pada nomor 8, 9, 34, 35, 37, 38.

5.2 Isolasi DNA (*High Pure DNA Template Isolation Kit -Roche*)

DNA genomik telah berhasil diisolasi dari 2 *Salmonella typhi* sesuai prosedur kit diagnostik Roche (<http://www.roche-applied-science.com>). Kondisi optimum yang dilakukan pada penelitian ini adalah menanam satu koloni bakteri pada empat mililiter Luria Bertani cair kemudian di-shaker dengan kecepatan 150-250 r/menit pada suhu 37°C selama empat jam. Setelah dilakukan kultur dengan kondisi optimum, pertumbuhan bakteri diukur kerapatan pertumbuhannya, dan jika sudah

mencapai $0,8 \times 10^9$ sel/ml atau satu unit *optical density* (OD) pada 600 nm dilakukan sentrifugasi untuk memisahkan supernatan dan *pellet Salmonella typhi* (Brown, 1991). Kemudian dilakukan isolasi DNA pada *pellet* dengan *High Pure DNA Template Isolation Roche*.

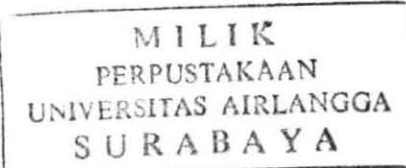
Isolasi DNA genom dengan *High Pure DNA Template Isolation Roche* mempunyai prinsip kerja yang spesifik. Kit tersebut menggunakan garam guanidium tiosianat sebagai bahan lisis sel bakteri yang efisien (Ausubel *et al.*, 1996) dan inaktivasi enzim nuklease (Boom *et al.*, 1989). Metode isolasi DNA dengan menggunakan agen-agen khaotropik menunjukkan hasil dan kualitas DNA yang secara konsisten tinggi (Sambrook *et al.*, 2001). Bahan guanidium tiosianat akan mengikat DNA kemudian DNA disaring dan menempel pada kertas saring yang didesain pada tabung penampung (*filter tube*). Filter kertas saring mempunyai kapasitas pengikatan DNA lebih besar dari penyaring silica, yaitu tiap kolom mampu mengikat hingga 20 µg DNA.

Modifikasi yang dilakukan pada isolasi DNA dengan kit (*High Pure DNA Template Isolation Roche*) adalah tahapan lisis sel, yaitu menggunakan enzim lysozym sebelum dilakukan ekstraksi dengan kit tersebut. Hal ini didasarkan pada karakter dinding sel *Salmonella typhi* yang tidak tahan dengan kerja enzim lysozym, yaitu destruksi protein membran.

Kemudian setelah tahapan isolasi DNA, dilakukan pengukuran konsentrasi dan kualitas DNA. Pengukuran dilakukan secara spektrofotometri dan visualisasi pita-pita DNA pada agar elektroforesa. Tujuan dari pengukuran ini untuk mendapatkan *DNA template* dengan konsentrasi tertentu yang dibutuhkan pada proses amplifikasi DNA.

5.3 Desain Primer

Rancangan primer *ompC* dan *fimH* didasarkan pada urutan nukleotida *Salmonella typhi accession number CAA30688; AL627274.1; XO7835.1; AE014613* untuk *ompC* dan *accession number X* untuk gen penyandi *fimH*. Perancangan primer FOC/ ROC dan FH/RH dilakukan dengan piranti lunak *Clone Manager Suite 6.0* dengan mempertimbangkan prosentase *GC content* yang tertinggi dan terendah, melakukan penyaringan homologi pada ujung 3' kedua primer untuk menghindari *mispriming* antar primer (*cross homology*) maupun primer yang sama (*self homology*).



Pada proses perancangan, primer didesain khusus sesuai dengan tujuan penelitian adalah kloning dan ekspresi gen penyandi outer membran protein C dan fimbriae H pada vektor plasmid, *pHis1525*, sehingga didapatkan tambahan nukleotida dibagian *upstream* dan *downstream* yang berguna sebagai *linker*.

Berdasarkan hasil analisis homologi diketahui FOC/ROC akan mengamplifikasi gen *ompC* sepanjang 1140 pasangan basa pada bagian *upstream* yang telah dihilangkan *start* dan *downstream* pada bagian *stop codonnya*. Penghilangan sekuen *start* dan *stop codon* karena desain plasmid *pHis1525* yang digunakan pada tahap rekayasa telah dipersiapkan (peta *pHis1525*). Begitu pula perancangan primer FH/RH, mengamplifikasi sepanjang 1020 pasangan basa. Ujung 5' primer ditambah dengan nukleotida, tempat pengenalan enzim *BgIII* dan ujung 3' ditambah sekuen yang sesuai tempat pengenalan *NgoMIV*.

5.4 Amplifikasi Gen Penyandi *ompC* dan *fimH*

Gen *ompC* *Salmonella typhi* yang berhasil diamplifikasi sampel, 8 dan 9 dengan panjang 1093 pasangan basa, sedangkan gen *fimH* pada kisaran 935 pasangan basa. Optimasi PCR dilakukan guna mendapatkan kondisi yang optimal sehingga dapat mengamplifikasi DNA pada regio yang diinginkan. Kondisi optimal yang dilakukan antara lain *DNA template* pada konsentrasi 150 ng sebanyak 2,5 μ l yang akan bereaksi optimum dengan masing-masing *primer* konsentrasi 3 μ M sebanyak 2,5 μ l. Desain oligonukleotida *forward primer* dan *reverse primers* yang disusun dari daerah lestari semua gen outer membran protein dan fimbriae A(*accession number* CAA30688; AL627274.1; XO7835.1; AE014613 untuk *ompC* dan *accession number* AE014613.1 dan AL627267.1 untuk gen penyandi *fimH*. Homologi diantara gen pengkode *ompC* adalah 99% dengan *accession number* AL627274, AE014613.1, M31424.1,FJ009676.1. Homologi gen *fimH* yang berhasil diamplifikasi adalah 94% dengan AE014613.1 dan AL627267.1

Kondisi optimal siklus termal reaksi PCR yaitu denaturasi 95°C selama 1 menit, *annealing* 60°C selama 1 menit, ekstensi 72°C selama 1 menit, dengan siklus reaksi 30 kali. Siklus reaksi diawali dengan denaturasi awal 95°C selama 5 menit dan diakhiri dengan perpanjangan ekstensi selama 10 menit pada 72°C. Tahap denaturasi awal (*hot start*) pada 94°C-96°C selama 5 menit menjamin denaturasi *DNA template* secara lengkap dan *inhibitor* menjadi tidak aktif.

Kontrol kualitas yang dibutuhkan dalam reaksi amplifikasi adalah adanya kontrol positif (DNA *Salmonella* ATCC) dan negatif (*distilled water*) dalam setiap reaksi PCR guna menghindari hasil positif/negatif palsu ataupun kontaminan.

Setelah dilakukan PCR maka dilanjutkan dengan elektroforesis dan didapatkan pita DNA dengan perkiraan panjang nukleotidanya adalah ± 1100 pasangan basa (merujuk pada gen pengkode *ompC*) pada sampel nomor 8 dan 9, sedangkan amplifikasi gen *fimH* pada sampel nomor 8 dan 9 yang keluar pita pada posisi ± 1000 pasangan basa. Konfirmasi penyebab tidak keluar pita pada proses amplifikasi gen *ompC* dan *fimH* nomor 34,35,37,38 perlu dikaji kestabilan kualitas DNA isolat *Salmonella typhi* gen *ompC* dan *fimH* dengan uji lanjutan guna verifikasi proses amplifikasi. Ketidakberhasilan proses dimungkinkan oleh banyak faktor selain kualitas DNA, yaitu bervariasinya notasi nukleotida dalam susunan primer sehingga penempelan primer pada daerah gen pengkode *ompC* dan *fimH* yang diharapkan dari sampel DNA nomor 34,35,37,38 menjadi kurang sempurna.

Optimasi PCR *primer* dilakukan dengan pengaturan suhu penempelan primer, kadar primer dan penggunaan enzim polymerase (*Taq Polymerase-Roche* dan *High Fidelity Taq Polymerase-Invitrogen*). Kontrol positif DNA yang digunakan adalah DNA *Salmonella typhi* ATCC dan negatif adalah air destilat steril (*distilled water*).

5.5 Pengurutan Nukleotida Hasil Amplifikasi Gen *ompC* dan *fimH* *S. typhi*

Konfirmasi hasil amplifikasi dibutuhkan guna mengetahui keberhasilan proses amplifikasi terutama kesesuaian penempelan primer dengan sampel DNA uji. Kesalahan penempelan seringkali terjadi terutama ketidakstabilan proses polimerisasi nukleotida secara *in vitro*. Hasil pengurutan nukleotida yang telah dilakukan pada DNA *ompC* nomor 8 dan 9, DNA *fimH* sampel 8 dan 9 belum sempurna. Pembacaan yang diharapkan adalah sepanjang 1143 pasangan basa untuk gen *ompC* dan 1008 pasaangan basa untuk gen pengkode *fimH*, sehingga akan dilakukan proses pengulangan pembacaan dengan memperbaiki kualitas DNA (tingkat kemurnian maupun konsentrasinya).

5.6 Kloning gen

Produk PCR yang telah dipurifikasi kemudian diinsersikan ke vektor. Vektor yang digunakan yaitu *pHis1525*. Plasmid ini mempunyai ukuran 7474 pb dan tersedia dalam bentuk sirkuler, sehingga proses insersi tidak dapat langsung dilakukan (*direct cloning*) tanpa dipotong dengan enzim restriksi terlebih dulu. Keuntungan lain penggunaan plasmid *pHis1525* yaitu 1) hasil kloning dapat meng-

gunakan dua inang yang berlainan (*Ecoli DH10 β* dan *Bacillus megaterium MS941*; 2) terdapat *T7lac* promotor dapat diinduksi dengan IPTG sehingga dapat mengekspresikan gen yang diinginkan dalam *E.coli DH10 β* ; 3) penanda *histidine* (*Tag histidine*) yang terdapat pada *C-terminal* berguna untuk deteksi protein rekombinan menggunakan resin *Ni-NTA* atau antibodi *anti-HisG*; 4) protease recognition site yang merupakan sisi pemotongan untuk memisahkan tag dari protein rekombinan yang dihasilkan; 5) *lacI* gene yang mengkode *lac repressor* untuk menekan basal transcription dari promotor *T7lac* dalam vektor *pHis 1525* dan promotor *lacUV5* yang terdapat dalam kromosom *E.coli DH10 β* ; 6) marker resistensi terhadap ampicilin sebagai seleksi dalam *E.coli DH10 β* ; 7) mengandung pBR322 origin untuk replikasi dan maintenance dalam *E.coli* (Studier FW et al, 1990).

Vektor *pHis1525* mempunyai promotor *T7lac* yang akan mengekspresikan gen dengan induksi dari IPTG. Menurut Studier FW dan Moffatt BA (1986) menunjukkan bahwa terdapat basal expression dari *T7 RNA polymerase* oleh promotor *lacUV5* di dalam λ DE3 lysogen tanpa kehadiran inducer. Secara umum hal tersebut tidak menjadi masalah tetapi jika gen yang diinginkan toksik terhadap *E.coli* yang digunakan sebagai inang, basal expression dari gen yang diinginkan bisa mengganggu stabilitas dari plasmid atau sel mengalami kematian. Vektor *pHis1525* dirancang mengandung *T7lac* promotor untuk mengendalikan ekspresi dari gen yang diinginkan sehingga bisa mengatasi permasalahan tersebut. *T7lac* promotor mengandung sebuah sekuen *lac operator* yang terletak pada down stream dari *T7* promotor. *Lac operator* merupakan binding site untuk *lac repressor* (*lacI gene*) yang berfungsi untuk menekan basal transcription plasmid di dalam *E.coli DH10 β* .

Hasil insersi DNA target ke vektor dari sampel jaringan testis normal berupa plasmid rekombinan *pHis1525*. *E.coli* disiapkan untuk menerima plasmid dengan menambahkan CaCl_2 sebelum melakukan transformasi. CaCl_2 berfungsi melemahkan dinding sel *E.coli* sehingga akan mempermudah plasmid rekombinan masuk ke dalam *E.coli* pada saat proses heat shock. *E.coli* yang telah siap untuk digunakan transformasi disebut sel kompeten.

Persiapan sel kompeten dilakukan dengan menumbuhkan inokulum sel *E.coli DH10 β* pada media 500 ml LB cair, kemudian dishaker kurang lebih 2 jam pada suhu 37°C sehingga didapatkan OD₆₀₀ sekitar 0,4-0,6. Sel inokulum kemudian

direndam es selama 30 menit, lalu disentrifugasi dengan kecepatan 4000rpm. Supernatan dibuang dan pelet yang berisi *E.coli* dicampur dengan CaCl₂ steril 100mM dingin sebanyak 50ml. CaCl₂ dicampur perlahan dengan pelet *E.coli* kemudian ditaruh dalam es selama 30 menit dan digoyang sesekali. Kemudian dilakukan sentrifugasi dengan kecepatan 3000 rpm dan kemudian pelet dikoleksi. Pelet ditambah CaCl₂ 100mM sebanyak 10 ml, diresuspensi dan didiamkan selama 1-2 jam pada es, lalu dialiquot dan disimpan pada -80°C sampai akan digunakan. Sel kompeten *E.coli* DH10 β siap digunakan untuk transformasi.

Sel kompeten dicampur dengan plasmid rekombinan secara perlahan kemudian tube dimasukan es serut lagi selama 30 menit agar plasmid rekombinan bercampur dan menyatu dengan sel kompeten. *Heat shock* dilakukan pada water bath 42°C selama 45detik untuk membuat kejutan pada sel kompeten sehingga plasmid rekombinan masuk melalui membran sel ke dalam sitoplasma *E.coli*. Tabung yang mengandung plasmid rekombinan segera dimasukan/direndam ke es serut agar pori-pori yang terbentuk di membran *E.coli* segera menutup kembali sehingga plasmid yang sudah tranformasi ke *E.coli* tidak keluar lagi. Kemudian ditambahkan media LB cair yang kaya nutrisi untuk pertumbuhan untuk *E.coli*. Hasil transformasi kemudian dikultur pada media seleksi yaitu media Luria Bertani (LB) agar yang mengandung ampisilin pada inkubator 37°C selama 16-18 jam (Sambrook and Russel, 1991).

Seleksi dilakukan dengan seleksi antibiotika ampisilin. Plasmid didesain mengandung gen resisten ampisilin yaitu gen β lactamase. Protein β lactamase disekresikan ke dalam media kemudian menghidrolisis ampisilin sehingga ampisilin tidak aktif. Sel transforman yang mengandung plasmid rekombinan akan tumbuh subur pada media seleksi yang mengandung ampisilin, sedangkan *E.coli* itu sendiri peka terhadap ampisilin sehingga *E.coli* yang tidak mengandung plasmid rekombinan tidak dapat tumbuh pada media seleksi. Kontrol negatif yang digunakan yaitu *E.coli* yang sama tetapi ditransformasi dengan *destilitated water* yang tidak mengandung plasmid rekombinan. Hasil kontrol negatif menunjukkan bahwa *E.coli* tidak tumbuh pada media yang mengandung ampisilin. Hal ini menunjukkan bahwa *E.coli* yang tumbuh pada media LB yang mengandung ampisilin tersebut memang benar *E.coli* yang mengandung plasmid rekombinan.

Apabila sel transforman tumbuh pada media selektif diharapkan proses

kloning berhasil. Sel inang akan memperbanyak diri dengan pembelahan yang diikuti oleh plasmid sehingga didapatkan klon sel transforman dalam jumlah banyak yang mengandung plasmid beserta molekul DNA rekombinan gen *ompC* dan *fimH*.

5.6.1 Restriksi plasmid rekombinan pOmpC dan pFimH dengan enzim *Bgl II* dan *NgoMIV*

Restriksi dilakukan dengan menggunakan enzim endonuklease. Enzim endonuklease mampu mendegradasi ikatan fosfodiester antar nukleotida dalam molekul DNA. Terdapat tiga macam enzim endonuklease yaitu tipe I, II dan III. Enzim endonuklease tipe I memotong tidak spesifik, sedangkan endonuklease tipe III mempunyai titik pengenalan yang sangat jauh dengan titik pemotongan. Enzim tipe I dan III lebih kompleks dan perannya hanya terbatas pada *genetic engineering* (Brown TA, 2002). Endonuklease tipe II (*restriction endonuclease* tipe II) mempunyai *restriction site* yang spesifik sehingga penting untuk kloning gen. Ciri utama enzim endonuklease tipe II yaitu memotongan ikatan fosfodiester pada urutan DNA yang bersifat palindrom; memotong DNA pada titik pengenalan yang dekat dengan titik pemotongan; pemutusan hidrolitik dua rantai DNA oleh enzim restriksi terjadi pada *restriction site* sehingga dapat menghasilkan *blunt end* atau *sticky end*; enzim ini stabil dan hanya memerlukan magnesium sebagai kofaktor (Primrose and Old RW, 2003).

Analisis restriksi menggunakan enzim *Bgl II* dan *NgoMIV* yang termasuk enzim endonuklease tipe II. *Bgl II* memotong *restriction site* AGATC secara *sticky end* pada posisi 3'overhang. *NgoMIV* memotong *restriction site* GCCGGC secara *sticky end* pada posisi 3'overhang. Dasar pertimbangan pemilihan *Bgl II* dan *NgoMIV* untuk analisis struktur plasmid rekombinan pada penelitian ini adalah 1) plasmid *pHis1525* mempunyai *restriction site* untuk enzim *Bgl II* dan *NgoMIV* sehingga bisa memotong plasmid rekombinan. 2) gen target tidak miliki *restriction site* terhadap enzim *Bgl II* dan *NgoMIV* sehingga tidak memotong area koding gen penyandi *ompC* dan *fimH*. Panjang *pHis1525* yaitu 7474 pb, setelah dilakukan insersi area koding gen penyandi *ompC* dan *fimH* yang terdiri dari 1143 dan 1008 pb sehingga total panjang DNA rekombinan pOmpC dan pFimH yaitu 8617 dan 8482 pb.

BAB VI

Kesimpulan dan Saran

6.1 Kesimpulan

Berdasarkan hasil penelitian ini dapat disimpulkan bahwa:

1. Seluruh area koding gen *ompC* dan *fimH* *Salmonella typhi* dapat diisolasi dengan teknik PCR.
2. Seluruh area koding gen *ompC* dan *fimH* *Salmonella typhi* yang terdapat pada plasmid rekombinan OmpC dan FimH dari penderita demam tifoid dapat diakses di *genbank* dengan *accession number* AL627274, AE014613.1, M31424.1,FJ009676.1 untuk nukleotida gen *ompC* dan AE014613.1 dan AL627267.1 untuk gen *fimH*.
3. Homologi sekuen gen *ompC* dari penderita demam tifoid adalah 99% dengan *accession number* AL627274, AE014613.1, M31424.1,FJ009676.1. Sekuen seluruh area koding gen *fimH* dari penderita demam tifoid mempunyai homologi 94% dengan sekuen *accession number* AE014613.1 dan AL627267.1.
4. Protein rekombinan OmpC dan FimH yang dikode oleh plasmid rekombinan pOmpC dan pFimH dari penderita demam tifoid dapat diekspresikan dalam *E.coli DH10 β* dengan induksi IPTG sehingga dapat menghasilkan protein rekombinan OmpC dan FimH yang dapat digunakan sebagai biomaterial untuk pengembangan diagnosis demam tifoid.

6.2 Saran

Saran yang diajukan yaitu menggunakan protein rekombinan OmpC dan FimH *Salmonella typhi* hasil penelitian ini untuk melakukan penelitian lanjutan dalam mensintesis antibodi anti protein OmpC dan FimH pada hewan coba sehingga dapat digunakan sebagai biomaterial untuk pengembangan diagnosis demam tifoid.

DAFTAR PUSTAKA

- Anggraini, 2002. Uji Dot-EIA Tifoid Dengan Antigen OMP *Salmonella typhi* Jenis Faga Lokal Sebagai Penunjang Diagnosis Demam Tifoid. Tesis Pasca Sarjana Universitas Airlangga, Surabaya.
- Baumler AJ, Heffron F, 1995. Identification and Sequence Analysis of lpf ABCDE, a Putative Fimbrial Operon of *Salmonella typhimurium*. *Infect Immun*; 177:2087-2097.
- Baumler AJ, Tsolis RM, Heffron F, 1996. Contribution of Fimbrial operons to attachment to and invasion of epithelial cell lines by *Salmonella typhimurium*. *Infect Immun*; 64:1862-1865.
- Bouvet JP and Fischetti VA, 1999. Diversity of Antibody-Mediated Immunity at the Mucosal Barrier. *Infect Immun*; 67:2687-26-91.
- Brumell JH and Finlay BB, 2000. Bacterial Adherence, Colonization, and Invasion of Mucosal Surfaces, in *Virulence Mechanisms of Bacterial Pathogens*, 3rd ed. ASM Press, Washington DC; 3-17.
- Calva E and Puente JL, 1995. *Salmonella typhi* Outer Membrane Proteins: Their Roles in Typhoid Fever, *SEA J of Tropmed and PH* ; 26 Suppl.2:138-144.
- Cohen H J, Mechanda SM, Wei Lin, 1996. PCR Amplification of the *fim A* Gene Sequence of *Salmonella typhimurium*, a Specific Method for Detection of *Salmonella* spp. *Applied and Environmental Microbiology*, Vol 62, No 12, p.4303-4308.
- Esinghorst EA, Baron LS, Kopecko DJ, 1989. Penetration of human intestinal epithelial cells by *Salmonella*: Molecular Cloning and expression of *Salmonella typhi* invasion determinant in *Escherichia coli*. *Proc Natl Acad Sci USA*; 86:5173-5177.
- Gam LH, Devi S, Puthucheary SD, Koh CL, 1991. Immune reactivity of typhoid sera with OMPs extracted from *Salmonella typhi*. In T Pang, Koh CL, Puthucheary SD(eds). *Typhoid Fever, Strategies for the 90's* Kuala Lumpur, World Scientific:207-13.
- Handoyo I, 1996. Diagnosis Laboratorium Demam Tifoid. *Jurnal Kimia Klinik Indonesia*; 7 (3):117-122.
- Harlow and Lane, 1988. *Antibodies: A Laboratory Manual*, Cold Spring Harbor Laboratory, USA.
- Ismail A, Kader ZSA, Hai OK, 1991. Development of a Dot Enzyme Immunosorbent Assay(EIA) for diagnosis of typhoid fever. In T Pang, Koh CL, Puthucheary SD(eds). *Typhoid Fever, Strategies for the 90's* Kuala Lumpur, World Scientific:207-6.

- Muladno, 2002. Seputar Teknologi Rekayasa Genetika. Bogor: Pusaka Wirausaha Muda.
- Salyers AA and Whitt DD, 1994. Bacterial Pathogenesis: a molecular approach. Washington DC: American Society for Microbiology Press : 30-41, 229-241.
- Sambrook J, Fritsh EF, Maniatis T, 2001. Molecular Cloning a Laboratory Manual. 2nd edition, Cold Spring Harbor Laboratory Press.
- Santoso S, 2002. Protein Adhesin *Salmonella typhi* Sebagai Faktor Virulensi Berpotensi Imunogenik terhadap produksi s-IgA protektif. Disertasi.
- Tetsuo Takara et al., 2006. Genetically engineered *Bifidobacterium animalis* expressing the *Salmonella* flagellin gene for the mucosal immunization in a mouse model. The journal of gene medicine; 8:1341-1346.
- Zwadyk P, 1992. *Enterobacteriaceae: Salmonella* and *Shigella*, Intestinal Pathogen, in Joklik WK, Willet HP, Amos DB, Wilfert CM, Zinsser Microbiology 20th ed, Appleton & Lange, USA: 556-565.

LAMPIRAN 3.1 Hasil Penjajaran sekuen gen *ompC* dan *fimH* *S typhi*

1. Hasil Penjajaran Sekuen Sampel No 9 *ompC* dengan database nukleotida di *genbank*

Sequences producing significant alignments:

Accession	Description	Max score	Total score	Query coverage	E value	Max ident
AE014613.1	Salmonella enterica subsp. enterica serovar Typhi Ty2, complete genome	1951	2037	99%	0.0	99%
AL627274.1	Salmonella enterica serovar Typhi (Salmonella typhi) strain CT18, complete chromosome; segment 10/20	1951	1951	99%	0.0	99%
M31424.1	S.typhi outer membrane protein (<i>ompC</i>) gene, complete cds	1951	1951	99%	0.0	99%

gb|AE014613.1| — Salmonella enterica subsp. enterica serovar Typhi Ty2, complete genome Length=4791961

Features in this part of subject sequence:

outer membrane protein C

Score = 1951 bits (1056), Expect = 0.0
Identities = 1080/1090 (99%), Gaps = 8/1090 (0%)
Strand=Plus/Plus

Query 7	TGGTA-CAGCTCTGCTGGTGGCGGGCGCAGCGAATGCGGCTGAAATTATAATAAGACG	65
Sbjct 681208	TGGTACCA GCTCTGCTGGTGGCGGGCGCAGCGAATGCGGCTGAAATTATAATAAGACG	681267
Query 66	GCAACAAATTAGACCTGTTGGTAAAGTTGATGGCCTGC ACTACTTCTCTGACGACAAG	125
Sbjct 681268	GCAACAAATTAGACCTGTTGGTAAAGTTGATGGCCTGC ACTACTTCTCTGACGACAAG	681327
Query 126	GCAGCGACGGCGACCAGACCTACATGCGTATCGGCTTCAAAGGCGAACGCAGGTAAACG	185
Sbjct 681328	GCAGCGACGGCGACCAGACCTACATGCGTATCGGCTTCAAAGGCGAACGCAGGTAAACG	681387
Query 186	ATCAGCTGACCGGTTATGCCAGTGGGAATATCAGATTGAGGCAACCAGACTGAAGGCA	245
Sbjct 681388	ATCAGCTGACCGGTTATGCCAGTGGGAATATCAGATTGAGGCAACCAGACTGAAGGCA	681447
Query 246	GCAACGACTCCTGGACCGTGTGGCGTTGCGGGCTGAAATTGCGTGACGCAGGTTCC	305
Sbjct 681448	GCAACGACTCCTGGACCGTGTGGCGTTGCGGGCTGAAATTGCGTGACGCAGGTTCC	681507
Query 306	TCGATTATGGTCGTAACACTACGGCGTAACCTATGACGTGACCTCCTGGACCGACGTTCTG	365
Sbjct 681508	TCGATTATGGTCGTAACACTACGGCGTAACCTATGACGTGACCTCCTGGACCGACGTTCTG	681566

Query	366	CCGGAGTTCGCGGCACACCTACGGCGTGACAACATTATGCAGCAGCGTGGTAACGGG 	425
Sbjct	681567	CCGGAGTTCGCGGCACACCTACGGCGTGACAACATTATGCAGCAGCGTGGTAACGG- 	681625
Query	426	CTATGCTACCTACCGTAACACCGACTTCTCGGTCTGGTGGATGGTCTGGACTTCGCGTT 	485
Sbjct	681626	CTATGCTACCTACCGTAACACCGACTTCTCGGTCTGGTGGATGGTCTGGACTTCGCGTT 	681685
Query	486	GCAGTATCAGGGAAAAACGGCAGCGTGAGCGGTGAAAACACCAACGGTCGCAGCCTGCT 	545
Sbjct	681686	GCAGTATCAGGGAAAAACGGCAGCGTGAGCGGTGAAAACACCAACGGTCGCAGCCTGCT 	681745
Query	546	GAACCAGAACGGCGACGGTTACGGCGGATCGCTGACTTATGCAATCGCGAAGGCTTCTC 	605
Sbjct	681746	GAACCAGAACGGCGACGGTTACGGCGGATCGCTGACTTATGCAATCGCGAAGGCTTCTC 	681805
Query	606	CGTCGGTGGCGCTATCACCACGTAAACGTACTGCCGATCAGAACACACCGCTAACGC 	665
Sbjct	681806	TGTCGGTGGCGCTATCACCACGTAAACGTACTGCCGATCAGAACACACCGCTAACGC 	681865
Query	666	TCGCCTGTATGGTAACGGCGATCGGCCACGGTTACACCGCGGCCTGAAATACGATGC 	725
Sbjct	681866	TCGCCTGTATGGTAACGGCGATCGGCCACGGTTACACCGCGGCCTGAAATACGATGC 	681925
Query	726	GAACAACATCTATCTGGCAGCGCAGTATTCTC-GAACCTATAACGCAACCGTTTGGTA 	784
Sbjct	681926	GAACAACATCTATCTGGCAGCGCAGTATTCTCAGA-CCTATAACGCAACCGTTTGGTA 	681984
Query	785	CCTTCTA-CGGCAGCAACCGTCCACTTACGGTTTGCCAACAAAGCGCAGAACCTT 	843
Sbjct	681985	CCT-CTAACGGCAGCAACCGTCCACCTCTACGGTTTGCCAACAAAGCGCAGAACCTT 	682043
Query	844	GAAGTGGTTGCTCAGTACCGACTTCGACTTGGTCTCGTCCGTCTGGCTTACCTGCAG 	903
Sbjct	682044	GAAGTGGTTGCTCAGTACCGACTTCGACTTGGTCTCGTCCGTCTGGCTTACCTGCAG 	682103
Query	904	TCTAAAGTAAGGACATCAGCAACGGCTACGGGCCAGCTATGGGACCAAGGACATCGTA 	963
Sbjct	682104	TCTAAAGTAAGGACATCAGCAACGGCTACGGGCCAGCTATGGGACCAAGGACATCGTA 	682163
Query	964	AAATACGTTGATGTCGGCGACTTACTACTCAACAAAACATGTCCACCTATGTTGAT 	1023
Sbjct	682164	AAATACGTTGATGTCGGCGACTTACTACTCAACAAAACATGTCCACCTATGTTGAT 	682223
Query	1024	TACAAAATCAACCTGCTGGATAAAAACGACTT-ACCCGCGATGCGGGCATCAACACCGAC 	1082
Sbjct	682224	TACAAAATCAACCTGCTGGATAAAAACGACTTACCCGCGATGCGGGCATCAACACCGAC 	682283
Query	1083	GACATCGTAG 1092 	
Sbjct	682284	GACATCGTAG 682293	

Features in this part of subject sequence:
outer membrane protein F precursor

Score = 86.1 bits (46), Expect = 4e-13
Identities = 175/234 (74%), Gaps = 22/234 (9%)
Strand=Plus/Plus

Query	826	AACAAAGCGCAGAACCTTGAAGTGGTTGCTCAGTACCACTTCGACTTGGCTCGTCCG	885
Sbjct	1980501	AACAAAACGCAGAACCTGGAAGTGGTCGCTCAGTACCACTTGACTTCGGCTCGTCCG	1980560
Query	886	TCTGTGGCTTACCTGCAGTCTAAAGGTAAGGACA-TCAGCAACGGCTACGGGCCAGCTA	944
Sbjct	1980561	GCAATCTCGTATGTGCAGAGTAAAGGTAAG-CAGT-TG-AACGG---CGCCGACGGCT-	1980612
Query	945	TGG-CGACCAGGACATCGTAAAATACGTTGATGTC-GGCGCGACTTACTACTTCAACAAA	1002
Sbjct	1980613	CGGCCGATCTGG---CG--AAATATATTCA-GGCAGGGCGCAGTTACTACTTCAACAAA	1980665
Query	1003	AACATGTCCACCTATG--TTGATTACAAAATCAACCTGCTGGATAAAAACGACT	1054
Sbjct	1980666	AACATGA--ACGTATGGGTTGACTACCGTTCAACCTGCTGGACGAAAACGACT	1980717

> [emb|AL627274.1] *** Salmonella enterica serovar Typhi (Salmonella typhi) strain CT complete chromosome; segment 10/20
Length=256050

Features in this part of subject sequence:
outer membrane protein C

Score = 1951 bits (1056), Expect = 0.0
Identities = 1080/1090 (99%), Gaps = 8/1090 (0%)
Strand=Plus/Minus

Query	7	TGGTA-CAGCTCTGCTGGTGGCGGGCGCAGCGAATGCGGCTGAAATTATAATAAGACG	65
Sbjct	22505	TGGTACCACTGCTGGTGGCGGGCGCAGCGAATGCGGCTGAAATTATAATAAGACG	22446
Query	66	GCAACAAATTAGACCTGTTGGTAAAGTTGATGGCCTGCACTACTCTCTGACGACAAAG	125
Sbjct	22445	GCAACAAATTAGACCTGTTGGTAAAGTTGATGGCCTGCACTACTCTGACGACAAAG	22386
Query	126	GCAGCGACGGCGACCAGACCTACATGCGTATGGCTCAAAGGCGAACCGCAGGTTAACG	185
Sbjct	22385	GCAGCGACGGCGACCAGACCTACATGCGTATGGCTCAAAGGCGAACCGCAGGTTAACG	22326
Query	186	ATCAGCTGACCGTTATGCCAGTGGAAATATCAGATTCAAGGGCAACCAGACTGAAGGCA	245
Sbjct	22325	ATCAGCTGACCGTTATGCCAGTGGAAATATCAGATTCAAGGGCAACCAGACTGAAGGCA	22266
Query	246	GCAACGACTCCTGGACCGTGTGGCGTTGCGGGCTGAAATTGCTGACGCAGGTTCCCT	305
Sbjct	22265	GCAACGACTCCTGGACCGTGTGGCGTTGCGGGCTGAAATTGCTGACGCAGGTTCCCT	22206

Query	306	TCGATTATGGTCGTAAACTACGGCGTAACCTATGACGTGACCTCCTGGACCGACGTTCTG	365
Sbjct	22205	TCGATTATGGTCGT-AACTACGGCGTAACCTATGACGTGACCTCCTGGACCGACGTTCTG	22147
Query	366	CCGGAGTTCGCGCGACACCTACGGCGCTGACAACATTATGCAGCAGCGTGGTAACGGG	425
Sbjct	22146	CCGGAGTTCGCGCGACACCTACGGCGCTGACAACATTATGCAGCAGCGTGGTAAC-GG	22088
Query	426	CTATGCTACCTACCGTAACACCGACTTCTCGGTCTGGTGGATGGTCTGGACTTCGCGTT	485
Sbjct	22087	CTATGCTACCTACCGTAACACCGACTTCTCGGTCTGGTGGATGGTCTGGACTTCGCGTT	22028
Query	486	GCAGTATCAGGGCAAAAACGGCAGCGTGAGCGGTGAAAACACCAACGGTCGAGCCTGCT	545
Sbjct	22027	GCAGTATCAGGGCAAAAACGGCAGCGTGAGCGGTGAAAACACCAACGGTCGAGCCTGCT	21968
Query	546	GAACCAGAACGGCGACGGTTACGGCGGATCGCTGACTTATGCAATCGCGAAGGCTTCTC	605
Sbjct	21967	GAACCAGAACGGCGACGGTTACGGCGGATCGCTGACTTATGCAATCGCGAAGGCTTCTC	21908
Query	606	CGTCGGTGGCGCTATCACCACGTAAACGTACTGCCGATCAGAACAAACACCGCTAACGC	665
Sbjct	21907	TGTCGGTGGCGCTATCACCACGTAAACGTACTGCCGATCAGAACAAACACCGCTAACGC	21848
Query	666	TCGCCTGTATGGTAACGGCGATCGGCCACGGTTACACCGCGGCCTGAAATAACGATGC	725
Sbjct	21847	TCGCCTGTATGGTAACGGCGATCGGCCACGGTTACACCGCGGCCTGAAATAACGATGC	21788
Query	726	GAACAACATCTATCTGGCAGCGCAGTATTCTCGA-ACCTATAACGCAACCCTTTGGTA	784
Sbjct	21787	GAACAACATCTATCTGGCAGCGCAGTATTCTC-AGACCTATAACGCAACCCTTTGGTA	21729
Query	785	CCTTCT-ACGGCAGCAACCCGTCCACTTCTACGGTTTGCCAACAAAGCGCAGAACCTT	843
Sbjct	21728	CC-TCTAACGGCAGCAACCCGTCCACCTCTACGGTTTGCCAACAAAGCGCAGAACCTT	21670
Query	844	GAAGTGGTTGCTCAGTACCGACTTCGACTTGGTCTGCGTCCGTGTGGCTTACCTGCAG	903
Sbjct	21669	GAAGTGGTTGCTCAGTACCGACTTCGACTTGGTCTGCGTCCGTGTGGCTTACCTGCAG	21610
Query	904	TCTAAAGGTAAAGGACATCAGCAACGGCTACGGCGCCAGCTATGGCGACCAGGACATCGTA	963
Sbjct	21609	TCTAAAGGTAAAGGACATCAGCAACGGCTACGGCGCCAGCTATGGCGACCAGGACATCGTA	21550
Query	964	AAATACGTTGATGTCGGCGCAGTTACTACTTCAACAAAAACATGTCCACCTATGTTGAT	1023
Sbjct	21549	AAATACGTTGATGTCGGCGCAGTTACTACTTCAACAAAAACATGTCCACCTATGTTGAT	21490
Query	1024	TACAAAATCAACCTGCTGGATAAAAACGACTT-ACCCGCGATGCGGGCATCAACACCGAC	1082
Sbjct	21489	TACAAAATCAACCTGCTGGATAAAAACGACTTACCCGCGATGCGGGCATCAACACCGAC	21430
Query	1083	GACATCGTAG 1092	
Sbjct	21429	GACATCGTAG 21420	

>gb|M31424.1|STYOMPC S.typhi outer membrane protein (ompC) gene, complete cds
Length=1639

Score = 1951 bits (1056), Expect = 0.0
Identities = 1080/1090 (99%), Gaps = 8/1090 (0%)
Strand=Plus/Plus

Query 7	TGGTA-CAGCTCTGCTGGTGGCGGGCGCAGCGAATGC GGCTGAAATTATAATAAGACG	65
Sbjct 429	TGGTACAGCTCTGCTGGTGGCGGGCGCAGCGAATGC GGCTGAAATTATAATAAGACG	488
Query 66	GCAACAAATTAGACCTGTTGGTAAAGTTGATGGCCTGCACTACTCTCTGACGACAAAG	125
Sbjct 489	GCAACAAATTAGACCTGTTGGTAAAGTTGATGGCCTGCACTACTCTCTGACGACAAAG	548
Query 126	GCAGCGACGGCGACCAGACCTACATGCGTATCGGCTCAAAGGC GAAACGCAGGTTAACG	185
Sbjct 549	GCAGCGACGGCGACCAGACCTACATGCGTATCGGCTCAAAGGC GAAACGCAGGTTAACG	608
Query 186	ATCAGCTGACCGTTATGCCAGTGGAAATATCAGATTGAGGCAACCAGACTGAAGGCA	245
Sbjct 609	ATCAGCTGACCGTTATGCCAGTGGAAATATCAGATTGAGGCAACCAGACTGAAGGCA	668
Query 246	GCAACGACTCCTGGACGCGTGTGGCGTTGCGGGTCTGAAATTGCTGACG CAGGTTCC	305
Sbjct 669	GCAACGACTCCTGGACGCGTGTGGCGTTGCGGGTCTGAAATTGCTGACG CAGGTTCC	728
Query 306	TCGATTATGGTCGTAACACTACGGCGTAACCTATGACGTGACCTCTGGACCGACGTTCTG	365
Sbjct 729	TCGATTATGGTCGT-AAACTACGGCGTAACCTATGACGTGACCTCTGGACCGACGTTCTG	787
Query 366	CCGGAGTTGGCGGGGACACCTACGGCGT GACAACTTATGCAGCAGCGTGGTAACGG	425
Sbjct 788	CCGGAGTTGGCGGGGACACCTACGGCGT GACAACTTATGCAGCAGCGTGGTAACGG-	846
Query 426	CTATGCTACCTACCGTAACACCGACTTCTCGGTCTGGGGATGGCTGGACTTCGCGTT	485
Sbjct 847	CTATGCTACCTACCGTAACACCGACTTCTCGGTCTGGGGATGGCTGGACTTCGCGTT	906
Query 486	GCAGTATCAGGGAAAAACGGCAGCGTGAGCGGTGAAAACACCAACGGTCGCAGCCTGCT	545
Sbjct 907	GCAGTATCAGGGAAAAACGGCAGCGTGAGCGGTGAAAACACCAACGGTCGCAGCCTGCT	966
Query 546	GAACCAGAACGGCGACGGTTACGGCGGATCGCTGACTTATGCAATCGCGAAGGCTTCTC	605
Sbjct 967	GAACCAGAACGGCGACGGTTACGGCGGATCGCTGACTTATGCAATCGCGAAGGCTTCTC	1026
Query 606	CGTCGGTGGCGCTATCACCACGTCTAACGTACTGCCGATCAGAACACACCGCTAACGC	665
Sbjct 1027	TGTCGGTGGCGCTATCACCACGTCTAACGTACTGCCGATCAGAACACACCGCTAACGC	1086
Query 666	TCGCCTGTATGGTAACGGCGATCGCGCCACGGTTACACCGGGCGGCCTGAAATACGATGC	725
Sbjct 1087	TCGCCTGTATGGTAACGGCGATCGCGCCACGGTTACACCGGGCGGCCTGAAATACGATGC	1146

Query	726	GAACAACATCTATCTGGCAGCGCAGTATTCTC-GAACCTATAACGCAACCCGTTGGTA	784
Sbjct	1147	GAACAACATCTATCTGGCAGCGCAGTATTCTCAGA-CCTATAACGCAACCCGTTGGTA	1205
Query	785	CCTTCTA-CGGCAGCAACCCGTCCACTTCTTACGGTTGCCAACAAAGCGCAGAACCTT	843
Sbjct	1206	CCT-CTAACGGCAGCAACCCGTCCACCTCTTACGGTTGCCAACAAAGCGCAGAACCTT	1264
Query	844	GAAGTGGTTGCTCAGTACCGTACCTGGTCTGCGTCCGTGTGGTTACCTGCAG	903
Sbjct	1265	GAAGTGGTTGCTCAGTACCGTACCTGGTCTGCGTCCGTGTGGTTACCTGCAG	1324
Query	904	TCTAAAGGTAAGGACATCAGCAACGGCTACGGGCCAGCTATGGGACCAGGACATCGTA	963
Sbjct	1325	TCTAAAGGTAAGGACATCAGCAACGGCTACGGGCCAGCTATGGGACCAGGACATCGTA	1384
Query	964	AAATACGTTGATGTCGGCGCAGTTACTACTTCAACAAAATGTCCACCTATGTTGAT	1023
Sbjct	1385	AAATACGTTGATGTCGGCGCAGTTACTACTTCAACAAAATGTCCACCTATGTTGAT	1444
Query	1024	TACAAAATCAACCTGCTGGATAAAAACGACTT-ACCCGCGATGGGGCATCAACACCGAC	1082
Sbjct	1445	TACAAAATCAACCTGCTGGATAAAAACGACTTACCCGCGATGGGGCATCAACACCGAC	1504
Query	1083	GACATCGTAG 1092	
Sbjct	1505	GACATCGTAG 1514	

>[gb|FJ009676.1|] *Salmonella typhi* strain SKST outer membrane protein (ompC) gene, partial cds
Length=1131

Score = 1945 bits (1053), Expect = 0.0
Identities = 1079/1090 (98%), Gaps = 8/1090 (0%)
Strand=Plus/Plus

Query	7	TGGTA-CAGCTCTGCTGGTGGCGGGCGCAGCGAATGCGGCTGAAATTATAATAAGACG	65
Sbjct	20	TGGTACCAAGCTCTGCTGGTGGCGGGCGCAGCGAATGCGGCTGAAATTATAATAAGACG	79
Query	66	GCAACAAATTAGACCTGGTAAAGTTGATGGCCTGCACTACTTCTCTGACGACAAAG	125
Sbjct	80	GCAACAAATTAGACCTGGTAAAGTTGATGGCCTGCACTACTTCTCTGACGACAAAG	139
Query	126	GCAGCGACGGCGACCAGACCTACATGCGTATCGGCTCAAAGGCGAAACGCAGGTTAACG	185
Sbjct	140	GCAGCGACGGCGACCAGACCTACATGCGTATCGGCTCAAAGGCGAAACGCAGGTTAACG	199
Query	186	ATCAGCTGACCGTTATGCCAGTGGAAATATCAGATTCAAGGGCAACCGAGACTGAAGGCA	245
Sbjct	200	ATCAGCTGACCGTTATGCCAGTGGAAATATCAGATTCAAGGGCAACCGAGACTGAAGGCA	259
Query	246	GCAACGACTCCTGGACCGTGTGGCTTGCGGGCTGAAATTGCTGACGCAGGTTCCCT	305
Sbjct	260	GCAACGACTCCTGGACCGTGTGGCTTGCGGGCTGAAATTGCTGACGCAGGTTCCCT	319

Query	306	TCGATTATGGTCGTAAACTACGGCGTAACCTATGACGTGACCTCCTGGACCGACGTTCTG	365
Sbjct	320	TCGATTATGGTCGT-AACTACGGCGTAACCTATGACGTGACCTCCTGGACCGACGTTCTG	378
Query	366	CCGGAGTTCGGCGGCGACACCTACGGCGCTGACAACATTATGCAGCAGCGTGGTAACGGG	425
Sbjct	379	CCGGAGTTCGGCGGCGACACCTACGGCGCTGACAACATTATGCAGCAGCGTGGTAACGG-	437
Query	426	CTATGCTACCTACCGTAACACCGACTTCTCGGTCTGGTGGATGGTCTGGACTTCGCGTT	485
Sbjct	438	CTATGCTACCTACCGTAACACCGACTTCTCGGTCTGGTGGATGGTCTGGACTTCGCGTT	497
Query	486	GCAGTATCAGGGCAAAAACGGCAGCGTGAGCGGTGAAAACACCAACGGTCGCAGCCTGCT	545
Sbjct	498	GCAGTATCAGGGCAAAAACGGCAGCGTGAGCGGTGAAAACACCAACGGTCGCAGCCTGCT	557
Query	546	GAACCAGAACGGCGACGGTTACGGCGGATCGCTGACTTATGCAATCGCGAAGGTTCTC	605
Sbjct	558	GAACCAGAACGGCGACGGTTACGGCGGATCGCTGACTTATGCAATCGCGAAGGCTACTC	617
Query	606	CGTCGGTGGCGCTATCACCACGTCTAACGTACTGCCGATCAGAACACACCGCTAACGC	665
Sbjct	618	TGTCGGTGGCGCTATCACCACGTCTAACGTACTGCCGATCAGAACACACCGCTAACGC	677
Query	666	TCGCCTGTATGGTAACGGCGATCGGCCACGGTTACACCGGGCCCTGAAATACGATGC	725
Sbjct	678	TCGCCTGTATGGTAACGGCGATCGGCCACGGTTACACCGGGCCCTGAAATACGATGC	737
Query	726	GAACAAACATCTATCTGGCAGCGCAGTATTCTC-GAACCTATAACGCAACCGTTTGGTA	784
Sbjct	738	GAACAAACATCTATCTGGCAGCGCAGTATTCTCAGA-CCTATAACGCAACCGTTTGGTA	796
Query	785	CCTTCTA-CGGCAGCAACCGTCCACTTCTACGGTTTGCCAACAAAGCGCAGAACCTT	843
Sbjct	797	CCT-CTAACGGCAGCAACCGTCCACCTTCTACGGTTTGCCAACAAAGCGCAGAACCTT	855
Query	844	GAAGTGGTTGCTCAGTACCGAGTTGACTTGGCTCGTCCGTCTGGTTACCTGCAG	903
Sbjct	856	GAAGTGGTTGCTCAGTACCGAGTTGACTTGGCTCGTCCGTCTGGTTACCTGCAG	915
Query	904	TCTAAAGGTAAAGGACATCAGCAACGGCTACGGCGCCAGCTATGGGACAGGACATCGTA	963
Sbjct	916	TCTAAAGGTAAAGGACATCAGCAACGGCTACGGCGCCAGCTATGGGACAGGACATCGTA	975
Query	964	AAATACGTTGATGTCGGCGCGACTTACTACTTCAACAAAAACATGTCCACCTATGTTGAT	1023
Sbjct	976	AAATACGTTGATGTCGGCGCGACTTACTACTTCAACAAAAACATGTCCACCTATGTTGAT	1035
Query	1024	TACAAAATCAACCTGCTGGATAAAAACGACTT-ACCCGGATGCGGGCATCAACACCGAC	1082
Sbjct	1036	TACAAAATCAACCTGCTGGATAAAAACGACTTACCCGGATGCGGGCATCAACACCGAC	1095
Query	1083	GACATCGTAG 1092	
Sbjct	1096	GACATCGTAG 1105	

2. Hasil Penajaran Sekuen Sampel No 9 *fimH* dengan database nukleotida di genbank

Sequences producing significant alignments:

Accession	Description	Max score	Total score	Query coverage	E value	Max ident
AE014613.1	Salmonella enterica subsp. enterica serovar Typhi Ty2, complete genome	1404	1404	96%	0.0	94%
AL627267.1	Salmonella enterica serovar Typhi (Salmonella typhi) strain CT18, complete chromosome; segment 3/20	1399	1399	96%	0.0	94%

```
>gb|AE014613.1| Salmonella enterica subsp. enterica serovar Typhi Ty2, complete genome
Length=4791961
```

Features in this part of subject sequence:

FimH protein precursor

Score = 1404 bits (760), Expect = 0.0			
Identities = 865/913 (94%), Gaps = 18/913 (1%)			
Strand=Plus/Minus			
Query 14 TCCC GTGCAGGCGACGG-ACGT CGTAATTGGGGCGGGACGGCGACCGAT ATCTTTATGA	72		
Sbjct 2380415 TCCC CGCTGGCGACGGTTGCCGTAAATCAAACGGACGGCGACCGAT ATCTTTATGA	2380356		
Query 73 CCTGTCAGATGTTTCACCAGCGGCAATAATCAGCCGGACAGGTGGTGACGCTGCTGAA	132		
Sbjct 2380355 CCTGTCAGATGTTTCACCAGCGGCAATAATCAGCCGGACAGGTGGTGACGCTGCTGAA	2380296		
Query 133 AAAATCAGATTGGTGC GGCGTAAACCGCACGTGCCCGGGACAACGGTGAATTATCC	192		
Sbjct 2380295 AAAATCAGATTGGTGC GGCGTAAACCGCACGTGCCCGGGACAACGGTGAATTATAC	2380236		
Query 193 CTACCGAAGCTATGTATCAGAATTACCGGTACAAAGCACCGAAAGAAATTAAATACCT	252		
Sbjct 2380235 CTACCGAAGCTATGTATCAGAATTACCGGTACAAAGCACCGAAGGAAATTAAATACCT	2380176		
Query 253 CAAGTTGAATGACTACCTCTGGCGCGATGAGCATAACCGATAGTGTGCGCTGGCGTATT	312		
Sbjct 2380175 CAAGTTGAATGACTACCTCTGGCGCGATGAGCATAACCGATAGTGTGCGCTGGCGTATT	2380116		
Query 313 TTATCCGCCCCGTA ACTATATCGCATGGCGTCGACTCTAACGTGTCGCAGCAAAGCC	372		
Sbjct 2380115 TTATCCGCCCCGTA ACTATATCGCATGGCGTCGACTCTAACGTGTCGCAGCAAAGCC	2380056		
Query 373 GTTTGGCGTGCAGGACTCAAAGCTGGTTTAAATAAAAGTGATACGGCCTTTATTAA	432		

Sbjct	2380055	 GTTTGGCGTGCAGGACTCAAAGCTGGTTAAATTAAAAGTGATACGCCCTTTATTAA	2379996
Query	433	TATAGTGACGATCCCCGCCAGACAATGTTACCGTCTATGTGACGACCTCTACCGCGA 	492
Sbjct	2379995	TATAGTGACGATCCCCGCCAGACAATGTTACCGTCTATGTGACGACCTCTACCGCGA	2379936
Query	493	CGCGTTGAGCACGCCGGTGTATACCATTAGCTACAGCGCAAAGTGGAAAGTACCGCAAAA 	552
Sbjct	2379935	CGCGTTGAGCACGCCGGTGTATACCATTAGCTACAGCGCAAAGTGGAAAGTACCGCAAAA	2379876
Query	553	ACTGTGAAGTGAATGCCGGACAGGTCGTGGAGTTGATTTCGCGATATCGGGCGCC 	612
Sbjct	2379875	-CTGTGAAGTGAATGCCGGACAGGTCGTGGAGTTGATTT-CGGCGATATCGG-CGCGCC	2379819
Query	613	GTTATTTAGTCAGGCCGGAGCAGGGTAATCGTCCGCAAGGCGTCACGCCGCAAGCGAAAA 	672
Sbjct	2379818	GTTATTT-AGTCAGGCCGGAGCAGGGTAATCGTCCGCAAGGCGTCACGCCGCAAGCGAAAA	2379760
Query	673	CTATCGCTATCAAATGT-CCAACCTCCGCCGGCGAAGCTTATTATCGATGCCGTTGA 	731
Sbjct	2379759	CTATCGCTATCAAATGTACCAACGTC-GCGCGCAAGCCTATTATCGATGCCGTT-GA	2379702
Query	732	ATCCTAAAAGGCCTCAAGGCAAGGCAATGGTGTCTGATAACCGGTATT-AGGCTCTGGG 	790
Sbjct	2379701	AGCGAAAAGGCCTCAGGGCA-GGCGATGGTGTCCGATAACCGG-ATTAGGCTTGTG	2379644
Query	791	GTATG-TAATAAGCA-CAG-ACGCCGGCTCATACCAATAATTGTCGAGTAAAATTCCG 	847
Sbjct	2379643	GT-TGCTAATA-GCAACGGTACGCCG-CTCACACCCATAATTGTCGAGTAAAATTCCG	2379587
Query	848	TTTCATCTTGTGATGATAACGCCGCCGCTCGCTAGGTATTGCTCCGATCAGCATG 	907
Sbjct	2379586	TTTCATCTTGTGATGATAACGCCGCCGCTCGCTAGGTATTGCTCCGATCAGCGTG	2379527
Query	908	CCAGGGAA-AAAC 919 	
Sbjct	2379526	ACGGGAATAAAC 2379514	

>`emb|AL627267.1| Salmonella enterica serovar Typhi (Salmonella typhi) strain CT18, complete chromosome; segment 3/20
Length=240050

Features in this part of subject sequence:

FimH protein precursor

Score = 1399 bits (757), Expect = 0.0
Identities = 864/913 (94%), Gaps = 18/913 (1%) Strand=Plus/Plus

Query	14	TCCCGTGCAGGCACGG-ACGTCGAATTGGGGCGGGACGGCGACCGATATCTTTATGA 	72
Sbjct	81686	TCCCGCGCTGGCGACGGTTGCCGTAAATTCAAACGGGACGGCGACCGATATCTTTATGA	81745
Query	73	CCTGTCAGATGTTTACCAAGCGGCAATAATCAGCCGGACAGGTGGTGACGCTGCTGAA 	132
Sbjct	81746	CCTGTCAGATGTTTACCAAGCGGCAATAATCAGCCGGACAGGTGGTGACGCTGCTGAA	81805

Query	133	AAAATCAGATTGGTGC GGCGTAAACGCGACGTGCCGGCGGGACAACGGTGAATTATCC	192
Sbjct	81806		81865
Query	193	CTACCGAAGCTATGTATCAGAATTACCGTACAAAGCACCGAAAGAAATTAAATACCT	252
Sbjct	81866	CTACCGAAGCTATGTATCAGAATTACCGTACAAAGCACCGAAGGAAATTAAATACCT	81925
Query	253	CAAGTTGAATGACTACCTTCTGGCGCGATGAGCATAACCGATAGTGTGCGTGGCGTATT	312
Sbjct	81926	CAAGTTGAATGACTACCTTCTGGCGCGATGAGCATAACCGATAGTGTGCGTGGCGTATT	81985
Query	313	TTATCCGCCCCGTAAC TATATT CGCATGGCGTCGACTCTAACGTGTCGAGCAAAGCC	372
Sbjct	81986		82045
Query	373	GTTTGGCGTGCAGGACTCAAAGCTGGTTTAAATTAAAAGT GATACGGCCTTTATTAA	432
Sbjct	82046		82105
Query	433	TATAGTGACGATCCCCGCCAGACAATGTTACCGTCTATGTGACGACCTTACCGCGA	492
Sbjct	82106		82165
Query	493	CGCGTTGAGCACGCCGGTGTATACCATTAGCTACAGCGGCAAAGT GGAAGTACCGCAAA	552
Sbjct	82166		82225
Query	553	ACTGTGAAGTGAATGCCGGACAGGTGTTGGAGTTGATTTCGCGATATCGGGCGGCC	612
Sbjct	82226	-CTGTGAAGTGAATGCCGGACAGGTGTTGGAGTTGATTT-CGGCGATATCGG-CGCGCC	82282
Query	613	GTTATTTAGTCAGGCCGGAGCGGGTAATCGTCCGCAAGCGTCACGCCCAAGCGAAAA	672
Sbjct	82283		82341
Query	673	CTATCGCTATCAAATGT-CCAACCTCCGCGCGCAAGCTTATTCGATGCCGTTGA	731
Sbjct	82342		82399
Query	732	ATCCTAAAAGGCCTCAAGGCAAGGCAATGGTGTCTGATAACCGGTATT-AGGCTCTGGG	790
Sbjct	82400		82457
Query	791	AGCCGAAAAAGCCTCAGGGCA-GGCGATGGTCCGATAACCGG-ATTAGGCTTG	847
Sbjct	82458	GT-TGCTAATA-GCAACGGTACCCG-CTCACACCCATAATTGTCGAGAAAATTCCG	82514
Query	848	TTTCATCTTGTATGATAACGCCGCCGCTCGTAGGTATTGTTCCGATCAGCATG	907
Sbjct	82515		82574
Query	908	CCAGGGAA-AAAC 919	
Sbjct	82575		82587

LAMPIRAN 3.2

Hasil Penajaran Sekuens 9 ompC dengan database Protein di genbank

Value	Sequences producing significant alignments:	(Bits)
ref NP_456812.1 outer membrane porin protein C [Salmonella e... 424 0.0		
ref ZP_02343501.1 outer membrane protein C [Salmonella enter... 422 0.0		
gb ACH58565.1 outer membrane protein [Salmonella enterica su... 422 0.0		
ref YP_001586981.1 outer membrane porin protein C [Salmonell... 422 0.0		
gb ABS50230.1 outer membrane protein C [Salmonella typhimurium] 424 0.0		
ref ZP_02654686.1 outer membrane protein C [Salmonella enter... 421 0.0		
ref YP_001569688.1 outer membrane porin protein C [Salmonell... 420 0.0		
emb CAA30688.1 unnamed protein product [Salmonella typhi] 424 0.0		
ref ZP_03163898.1 outer membrane protein C [Salmonella enter... 417 0.0		
ref ZP_02661500.1 outer membrane protein C (Porin OmpC) [Sal... 415 0.0		
ref YP_217258.1 outer membrane porin protein C [Salmonella e... 414 0.0		
emb CAB96613.1 outer membrane protein C [Salmonella enterica... 410 0.0		
gb AAB96675.1 outer membrane porin C [Salmonella enterica su... 411 0.0		
gb AAQ16585.1 outer membrane protein C [Salmonella enterica ... 407 0.0		
gb AAL92500.1 outer membrane protein [Salmonella enterica su... 397 1e-		
177		
gb AAL92499.1 outer membrane protein [Salmonella enterica su... 387 1e-		
174		
ref YP_002141404.1 outer membrane protein C [Salmonella ente... 424 6e-		
166		
ref YP_002227186.1 outer membrane protein C [Salmonella ente... 414 6e-		
163		

> ref|NP_456812.1| G outer membrane porin protein C [Salmonella enterica subsp. enterica serovar Typhi str. CT18]
ref|NP_461210.1| G outer membrane porin protein C [Salmonella typhimurium LT2]
ref|NP_804453.1| G outer membrane porin protein C [Salmonella enterica subsp. enterica serovar Typhi str. Ty2]
[35 more sequence titles](#)

ref|YP_149910.1| G outer membrane porin protein C [Salmonella enterica subsp. enterica serovar Paratyphi A str. ATCC 9150]
ref|ZP_02573695.1| outer membrane protein C [Salmonella enterica subsp. enterica serovar 4,[5],12:i:- str. CVM23701]
ref|ZP_02667312.1| outer membrane protein C [Salmonella enterica subsp. enterica serovar Heidelberg str. SL486]
ref|ZP_02683695.1| outer membrane protein C [Salmonella enterica subsp. enterica serovar Hadar str. RI_05P066]
ref|ZP_02699909.1| outer membrane protein C [Salmonella enterica subsp. enterica serovar Newport str. SL317]
ref|ZP_02830007.1| outer membrane protein C [Salmonella enterica subsp. enterica serovar Weltevreden str. HI_N05-537]
ref|YP_002041529.1| G outer membrane protein C [Salmonella enterica subsp. enterica serovar Newport str. SL254]

ref|YP_002046322.1| **G** outer membrane porin protein C [Salmonella enterica subsp. enterica serovar Heidelberg str. SL476]

ref|YP_002216337.1| **G** outer membrane protein C [Salmonella enterica subsp. enterica serovar Dublin str. CT_02021853]

ref|ZP_03213439.1| outer membrane protein C [Salmonella enterica subsp. enterica serovar Virchow str. SL491]

ref|ZP_03352732.1| outer membrane porin protein C [Salmonella enterica subsp. enterica serovar Typhi str. E01-6750]

ref|ZP_03357722.1| outer membrane porin protein C [Salmonella enterica subsp. enterica serovar Typhi str. E02-1180]

ref|ZP_03367527.1| outer membrane porin protein C [Salmonella enterica subsp. enterica serovar Typhi str. E98-0664]

ref|ZP_03376289.1| outer membrane porin protein C [Salmonella enterica subsp. enterica serovar Typhi str. J185]

ref|ZP_03414165.1| outer membrane porin protein C [Salmonella enterica subsp. enterica serovar Typhi str. E98-3139]

ref|ZP_04657748.1| outer membrane porin protein C [Salmonella enterica subsp. enterica serovar Tennessee str. CDC07-0191]

sp|POA263.1| OMPC SALTY RecName: Full=Outer membrane protein C; AltName: Full=Porin ompC;
Flags: Precursor

sp|POA264.1| OMPC SALTI RecName: Full=Outer membrane protein C; AltName: Full=Porin ompC; Flags: Precursor

pir|jAI0789 outer membrane protein C ompC [imported] - Salmonella enterica subsp. enterica serovar Typhi (strain CT18)

gb|AAA27169.1| outer membrane protein precursor [Salmonella enterica subsp. enterica serovar Typhimurium]

gb|AAL21169.1| **G** outer membrane protein 1b (ib;c) [Salmonella enterica subsp. enterica serovar Typhimurium str. LT2]

emb|CAD07499.1| **G** outer membrane protein C [Salmonella enterica subsp. enterica serovar Typhi]

gb|AAO68302.1| **G** outer membrane protein C [Salmonella enterica subsp. enterica serovar Typhi str. Ty2]

gb|AAV76598.1| **G** outer membrane protein C [Salmonella enterica subsp. enterica serovar Paratyphi A str. ATCC 9150]

gb|ACF64317.1| **G** outer membrane protein C [Salmonella enterica subsp. enterica serovar Newport str. SL254]

gb|ACF68543.1| **G** outer membrane protein C [Salmonella enterica subsp. enterica serovar Heidelberg str. SL476]

gb|EDX49750.1| outer membrane protein C [Salmonella enterica subsp. enterica serovar Newport str. SL317]

gb|ACH74704.1| **G** outer membrane protein C [Salmonella enterica subsp. enterica serovar Dublin str. CT_02021853]

gb|EDZ02470.1| outer membrane protein C [Salmonella enterica subsp. enterica serovar Virchow str. SL491]

gb|EDZ15978.1| outer membrane protein C [Salmonella enterica subsp. enterica serovar 4, [5], 12:i:- str. CVM23701]

gb|EDZ25069.1| outer membrane protein C [Salmonella enterica subsp. enterica serovar Heidelberg str. SL486]

gb|EDZ31661.1| outer membrane protein C [Salmonella enterica subsp. enterica serovar Weltevreden str. HI_N05-537]

gb|EDZ36133.1| outer membrane protein C [Salmonella enterica subsp. enterica serovar Hadar str. RI_05P066]

gb|ACT66007.1| outer membrane protein C protein-like protein precursor
[*Salmonella enterica* subsp. *enterica* serovar *Typhimurium*]
gb|ACY89238.1| outer membrane porin protein C [*Salmonella enterica* subsp.
enterica serovar *Typhimurium* str. 14028S]
Length=378

GENE ID: 1248821 *ompC* | outer membrane porin protein C
[*Salmonella enterica* subsp. *enterica* serovar *Typhi* str. CT18]
(10 or fewer PubMed links)

Score = 424 bits (1089), Expect(4) = 0.0
Identities = 207/210 (98%), Positives = 208/210 (99%), Gaps = 0/210 (0%)
Frame = +1

Query 424	GYATYRNTDFGLVDGLDFALQYQGKNGSVSGENTNGRSLLNQNGDGYGGSLTYAIGEGF
603	GYATYRNTDFGLVDGLDFALQYQGKNGSVSGENTNGRSLLNQNGDGYGGSLTYAIGEGF
Sbjct 148	GYATYRNTDFGLVDGLDFALQYQGKNGSVSGENTNGRSLLNQNGDGYGGSLTYAIGEGF
207	GYATYRNTDFGLVDGLDFALQYQGKNGSVSGENTNGRSLLNQNGDGYGGSLTYAIGEGF
Query 604	SVGGAITTSKRTADQNNNTANARLYGNGDRATVYTGGLKYDANNIYLAAQYSRTYNATRFG
783	SVGGAITTSKRTADQNNNTANARLYGNGDRATVYTGGLKYDANNIYLAAQYS+TYNATRFG
Sbjct 208	SVGGAITTSKRTADQNNNTANARLYGNGDRATVYTGGLKYDANNIYLAAQYSQTYNATRFG
267	SVGGAITTSKRTADQNNNTANARLYGNGDRATVYTGGLKYDANNIYLAAQYSQTYNATRFG
Query 784	TFYGSNPSTS YGFANKAQNFEVVAQYQFDGLRPSVAYLQSKGKDI SNGYGASYGDQDIV
963	T GSNPSTS YGFANKAQNFEVVAQYQFDGLRPSVAYLQSKGKDI SNGYGASYGDQDIV
Sbjct 268	TSNGSNPSTS YGFANKAQNFEVVAQYQFDGLRPSVAYLQSKGKDI SNGYGASYGDQDIV
327	TSNGSNPSTS YGFANKAQNFEVVAQYQFDGLRPSVAYLQSKGKDI SNGYGASYGDQDIV
Query 964	KYVDVGATYYFNKNMSTYVDYKINLLDKND 1053
	KYVDVGATYYFNKNMSTYVDYKINLLDKND
Sbjct 328	KYVDVGATYYFNKNMSTYVDYKINLLDKND 357

Score = 194 bits (493), Expect(4) = 0.0
Identities = 90/90 (100%), Positives = 90/90 (100%), Gaps = 0/90 (0%)
Frame = +2

Query 47	EIYNKDGNKLDLFGKVDGLHYFSDDKGSDGDQTYMRIGFKGETQVNDQLTGYGQWEYQIQ 226
	EIYNKDGNKLDLFGKVDGLHYFSDDKGSDGDQTYMRIGFKGETQVNDQLTGYGQWEYQIQ
Sbjct 23	EIYNKDGNKLDLFGKVDGLHYFSDDKGSDGDQTYMRIGFKGETQVNDQLTGYGQWEYQIQ 82
Query 227	GNQTEGSNDSWTRVAFAGLK FADAGSF DY 316
	GNQTEGSNDSWTRVAFAGLK FADAGSF DY
Sbjct 83	GNQTEGSNDSWTRVAFAGLK FADAGSF DY 112

Score = 80.9 bits (198), Expect(4) = 0.0
Identities = 35/35 (100%), Positives = 35/35 (100%), Gaps = 0/35 (0%)
Frame = +3

Query 321	NYGVTYDVTSWTDVLPEFGGDTYGADNFMQQRGNG 425
	NYGVTYDVTSWTDVLPEFGGDTYGADNFMQQRGNG
Sbjct 114	NYGVTYDVTSWTDVLPEFGGDTYGADNFMQQRGNG 148

Score = 28.1 bits (61), Expect(4) = 0.0
Identities = 12/12 (100%), Positives = 12/12 (100%), Gaps = 0/12 (0%)
Frame = +3

Query 1056 TRDAGINTDDIV 1091
TRDAGINTDDIV
Sbjct 359 TRDAGINTDDIV 370

>[ref|ZP_02343501.1| outer membrane protein C [Salmonella enterica subsp.
enterica serovar Saintpaul str. SARA29]
gb|EDZ12997.1| outer membrane protein C [Salmonella enterica subsp.
enterica serovar Saintpaul str. SARA29]
Length=378

Score = 422 bits (1086), Expect(4) = 0.0
Identities = 206/210 (98%), Positives = 208/210 (99%), Gaps = 0/210 (0%)
Frame = +1

Query 424 GYATYRNTDFGLVDGLDFALQYQGKNGSVSGENTNGRSLLNQNGDGYGGSLTYAIGEGF
603
Sbjct 148 GYATYRNTDFGLVDGLDFALQYQGKNGSVSGENTNGRSLLNQNGDGYGGSLTYAIGEGF
207 GYATYRNTDFGLVDGLDFALQYQGKNGSVSGENTNGRSLLNQNGDGYGGSLTYAIGEGF

Query 604 SVGGAITTSKRTADQNNTANARLYGNGDRATVYTGLKYDANNIYLAAQYSRTYNATRFG
783
Sbjct 208 SVGGAITTSKRTADQNNTANARLYGNGDRATVYTGLKYDANNIYLAAQYS+TYNATRFG
267 SVGGAITTSKRTADQNNTANARLYGNGDRATVYTGLKYDANNIYLAAQYSQTYNATRFG

Query 784 TFYGSNPSTS YGFANKAQNFEVVAQYQFDGLRPSVAYLQSKGKDISNGYGASYGDQDIV
963 T G+NPSTS YGFANKAQNFEVVAQYQFDGLRPSVAYLQSKGKDISNGYGASYGDQDIV
Sbjct 268 TSNGNNPSTS YGFANKAQNFEVVAQYQFDGLRPSVAYLQSKGKDISNGYGASYGDQDIV
327

Query 964 KYVDVGATYYFNKNMSTYVDYKINLLDKND 1053
KYVDVGATYYFNKNMSTYVDYKINLLDKND
Sbjct 328 KYVDVGATYYFNKNMSTYVDYKINLLDKND 357

Score = 194 bits (493), Expect(4) = 0.0
Identities = 90/90 (100%), Positives = 90/90 (100%), Gaps = 0/90 (0%)
Frame = +2

Query 47 EIYNKDGNKLDFGKVDGLHYFSDDKGSDGDQTYMRIGFKGETQVNDQLTGYGQWEYQIQ 226
EIYNKDGNKLDFGKVDGLHYFSDDKGSDGDQTYMRIGFKGETQVNDQLTGYGQWEYQIQ
Sbjct 23 EIYNKDGNKLDFGKVDGLHYFSDDKGSDGDQTYMRIGFKGETQVNDQLTGYGQWEYQIQ 82

Query 227 GNQTEGSNDSWTRVAFAGLKFDAGSF DY 316
GNQTEGSNDSWTRVAFAGLKFDAGSF DY
Sbjct 83 GNQTEGSNDSWTRVAFAGLKFDAGSF DY 112

Score = 80.9 bits (198), Expect(4) = 0.0
Identities = 35/35 (100%), Positives = 35/35 (100%), Gaps = 0/35 (0%)
Frame = +3

Query 321 NYGVTYDVTSTWDVLPEFGGDTYGADNFMQQRGNG 425
NYGVTYDVTSTWDVLPEFGGDTYGADNFMQQRGNG
Sbjct 114 NYGVTYDVTSTWDVLPEFGGDTYGADNFMQQRGNG 148

Score = 28.1 bits (61), Expect(4) = 0.0
Identities = 12/12 (100%), Positives = 12/12 (100%), Gaps = 0/12 (0%)
Frame = +3

Query 1056 TRDAGINTDDIV 1091
TRDAGINTDDIV
Sbjct 359 TRDAGINTDDIV 370

>[gb|ACH58565.1| outer membrane protein [Salmonella enterica subsp.
enterica serovar Typhi]
Length=376

Score = 422 bits (1086), Expect(4) = 0.0
Identities = 206/210 (98%), Positives = 208/210 (99%), Gaps = 0/210 (0%)
Frame = +1

Query 424 GYATYRNTDFGLVDGLDFALQYQGKNGSVSGENTNGRSLLNQNGDGYGGSLTYAIGEGF
603
Sbjct 146 GYATYRNTDFGLVDGLDFALQYQGKNGSVSGENTNGRSLLNQNGDGYGGSLTYAIGEG+
205 GYATYRNTDFGLVDGLDFALQYQGKNGSVSGENTNGRSLLNQNGDGYGGSLTYAIGEGY

Query 604 SVGGAITTSKRTADQNNTANARLYGNGDRATVYTGGLKYDANNIYLAAQYSRTYNATRFG
783
Sbjct 206 SVGGAITTSKRTADQNNTANARLYGNGDRATVYTGGLKYDANNIYLAAQYS+TYNATRFG
265 SVGGAITTSKRTADQNNTANARLYGNGDRATVYTGGLKYDANNIYLAAQYSQTYNATRFG

Query 784 TFYGSNPSTS YGFANKAQNFEVVAQYQFDGLRPSVAYLQSKGKD ISNGY GAS YGDQDIV
963 T GSNPSTS YGFANKAQNFEVVAQYQFDGLRPSVAYLQSKGKD ISNGY GAS YGDQDIV
Sbjct 266 TSNGSNPSTS YGFANKAQNFEVVAQYQFDGLRPSVAYLQSKGKD ISNGY GAS YGDQDIV
325

Query 964 KYVDVGATYYFNKNMSTYVDYKINLLDKND 1053
KYVDVGATYYFNKNMSTYVDYKINLLDKND
Sbjct 326 KYVDVGATYYFNKNMSTYVDYKINLLDKND 355

Score = 194 bits (493), Expect(4) = 0.0
Identities = 90/90 (100%), Positives = 90/90 (100%), Gaps = 0/90 (0%)
Frame = +2

Query 47 EIYNKDGNKL DLFGKVDGLHYFSDDKGSDGDQTYMRIGFKGETQVN DQLTGYGQWEYQIQ 226
EIYNKDGNKL DLFGKVDGLHYFSDDKGSDGDQTYMRIGFKGETQVN DQLTGYGQWEYQIQ

Sbjct 21 EIYNKDGNKLDLFGKVDGLHYFSDDKGSDGDQTYMRIGFKGETQVNDQLTGYGQWEYQIQ 80

Query 227 GNQTEGSNDSWTRVAFAGLKADAGSF DY 316

GNQTEGSNDSWTRVAFAGLKADAGSF DY

Sbjct 81 GNQTEGSNDSWTRVAFAGLKADAGSF DY 110

Score = 80.9 bits (198), Expect(4) = 0.0

Identities = 35/35 (100%), Positives = 35/35 (100%), Gaps = 0/35 (0%)

Frame = +3

Query 321 NYGVTYDVTSWTDVLPEFGGDTYGADNFMQQRGNG 425

NYGVTYDVTSWTDVLPEFGGDTYGADNFMQQRGNG

Sbjct 112 NYGVTYDVTSWTDVLPEFGGDTYGADNFMQQRGNG 146

Score = 28.1 bits (61), Expect(4) = 0.0

Identities = 12/12 (100%), Positives = 12/12 (100%), Gaps = 0/12 (0%)

Frame = +3

Query 1056 TRDAGINTDDIV 1091

TRDAGINTDDIV

Sbjct 357 TRDAGINTDDIV 368

LAMPIRAN 3.3

Hasil Penjajaran sekuens 9 fimH dengan database Protein di genbank

Sequences producing significant alignments:	(Bits)	Value
ref NP_455136.1 FimH protein precursor [Salmonella enterica ...	408	4e-112
gb ABK76650.1 FimH [Salmonella enterica subsp. enterica sero...]	394	6e-108
ref YP_215573.1 minor fimbrial subunit [Salmonella enterica ...]	394	1e-107
gb ABK27328.1 fimbrial subunit [Salmonella enterica subsp. e...]	392	4e-107
ref YP_002636182.1 FimH protein precursor [Salmonella enteri...]	391	6e-107
ref ZP_02656603.1 mannose binding protein FimH [Salmonella e...]	391	6e-107
ref YP_002214501.1 mannose binding protein FimH [Salmonella ...]	391	6e-107
ref YP_002242676.1 FimH protein precursor [Salmonella enteri...]	391	6e-107
ref ZP_02830832.1 mannose binding protein FimH [Salmonella e...]	390	8e-107
ref YP_001589212.1 hypothetical protein SPAB_03016 [Salmonel...]	390	8e-107
ref YP_002225649.1 FimH protein precursor [Salmonella enteri...]	390	1e-106
gb ABL10287.1 FimH [Salmonella enterica subsp. enterica sero...]	390	1e-106
gb AAR83177.1 FimH [Salmonella enterica subsp. enterica sero...]	390	1e-106
ref ZP_02699533.1 mannose binding protein FimH [Salmonella e...]	389	2e-106
ref YP_002039791.1 mannose binding protein FimH [Salmonella ...]	389	2e-106
ref ZP_02665314.1 mannose binding protein FimH [Salmonella e...]	389	2e-106
ref ZP_02682983.1 mannose binding protein FimH [Salmonella e...]	389	2e-106
gb AAR83178.1 FimH [Salmonella enterica subsp. enterica sero...]	389	3e-106
ref YP_151379.1 FimH protein precursor [Salmonella enterica ...]	388	4e-106
ref ZP_03221493.1 mannose binding protein FimH [Salmonella e...]	388	5e-106
ref NP_459542.1 minor fimbrial subunit [Salmonella typhimuri...]	388	5e-106
ref ZP_02664105.1 mannose binding protein FimH [Salmonella e...]	387	9e-106
ref ZP_04655160.1 FimH protein precursor [Salmonella enteric...]	386	2e-105
gb ACC69033.1 FimH [Salmonella enterica subsp. enterica sero...]	385	5e-105
ref ZP_03217526.1 mannose binding protein FimH [Salmonella e...]	385	5e-105
gb AAA75420.1 FimH [Salmonella enterica subsp. enterica sero...]	384	6e-105
ref ZP_03387394.1 FimH protein precursor [Salmonella enteric...]	357	1e-96

> ref|NP_455136.1| G FimH protein precursor [Salmonella enterica subsp. enterica serovar Typhi str. CT18]

ref|NP_806050.1| G FimH protein precursor [Salmonella enterica subsp. enterica serovar Typhi str. Ty2]

ref|ZP_03336711.1| FimH protein precursor [Salmonella enterica subsp. enterica serovar Typhi str. 404ty]

10 more sequence titles

ref|ZP_03345651.1| FimH protein precursor [Salmonella enterica subsp. enterica serovar Typhi str. E00-7866]

ref|ZP_03353503.1| FimH protein precursor [Salmonella enterica subsp. enterica serovar Typhi str. E01-6750]

ref|ZP_03358008.1| FimH protein precursor [Salmonella enterica subsp. enterica serovar Typhi str. E02-1180]

ref|ZP_03364161.1| FimH protein precursor [Salmonella enterica subsp. enterica serovar Typhi str. E98-0664]

ref|ZP_03371515.1| FimH protein precursor [Salmonella enterica subsp. enterica serovar Typhi str. E98-2068]

ref|ZP_03377107.1| FimH protein precursor [Salmonella enterica subsp.
 enterica serovar Typhi str. J185]
ref|ZP_03410278.1| FimH protein precursor [Salmonella enterica subsp.
 enterica serovar Typhi str. E98-3139]
pir|AC0570 FimH protein precursor [imported] - Salmonella enterica subsp.
 enterica serovar Typhi (strain CT18)
emb|CAD05029.1| FimH protein precursor [Salmonella enterica subsp.
 enterica serovar Typhi]
gb|AAO69910.1| FimH protein precursor [Salmonella enterica subsp.
 enterica serovar Typhi str. Ty2]
 Length=335

GENE ID: 1247061 fimH | FimH protein precursor
 [Salmonella enterica subsp. enterica serovar Typhi str. CT18]
 (10 or fewer PubMed links)

Score = 408 bits (1049), Expect = 4e-112
 Identities = 223/298 (74%), Positives = 238/298 (79%), Gaps = 5/298 (1%)
 Frame = +2

Query 35	RNWGGTATDIFYDLSDVFTSGNNQPGQVVTLLKKSDWCGVNATCPAGTTVNPYRSYVSE	214
	RN GTATDIFYDLSDVFTSGNNQPGQVVTLLKKSDWCGVNATCPAGTTVNY YRSYVSE	
Sbjct 26	RNSNGTATDIFYDLSDVFTSGNNQPGQVVTLLKKSDWCGVNATCPAGTTVNYTYRSYVSE	85
Query 215	LPVQSTERNFKYLKLNDYLLGAMSITDSVAGVFYPPRNYIRMGVDSNVSQQQKPFGVQDSK	394
	LPVQSTE NFKYLKLNDYLLGAMSITDSVAGVFYPPRNYIRMGVDSNVSQQQKPFGVQDSK	
Sbjct 86	LPVQSTEGNFKYLKLNDYLLGAMSITDSVAGVFYPPRNYIRMGVDSNVSQQQKPFGVQDSK	145
Query 395	LVFKLK VIRPFINIVTIPRQTMFTVYVTTSTGDALSTPVYTISYSRKVEVPQKL*SECRT	574
	LVFKLK VIRPFINIVTIPRQTMFTVYVTTSTGDALSTPVYTISYSRKVEVPQ E	
Sbjct 146	LVFKLK VIRPFINIVTIPRQTMFTVYVTTSTGDALSTPVYTISYSRKVEVPQN--CEVNA	203
Query 575	GRGV*FS-AISGAPLF*s ^{ggsg} *ssARRHAASENYRYQMSNLRGASLFIDAALNPKRPG	751
	G+ V F GAPLF G+G ++ + +N+ A ++ L ++ G	
Sbjct 204	GQVVEFDFGDIGAPLFSQAGAGNRPQGVTPQAKTIAIKCTNV-AAQAYLSMRLEAEKASG	262
Query 752	KAMVSDNRVLGSVGVCNKHRRRLIPPNLSSKIPFHLDNAARVGIRSRPISM PGKNSP	925
	+AMVSDN LG V N + L PNNLSSKIPFHLDNAARVGIR+ PIS+ G N P	
Sbjct 263	QAMVSDNPDLGFVVANSNGTPLTPNNLSSKIPFHLDNAARVGIRAWPISVTG-NKP	319

> gb|ABK76650.1| FimH [Salmonella enterica subsp. enterica serovar
 Choleraesuis]
 Length=335

Score = 394 bits (1013), Expect = 6e-108
 Identities = 217/298 (72%), Positives = 235/298 (78%), Gaps = 5/298 (1%)
 Frame = +2

Query 35	RNWGGTATDIFYDLSDVFTSGNNQPGQVVTLLKKSDWCGVNATCPAGTTVNPYRSYVSE	214
	RN GTATDIFYDLSDVFTSGNNQPGQVVTLL+KS W GVNA TCPAGTTVNY YRSYVSE	
Sbjct 26	RNSNGTATDIFYDLSDVFTSGNNQPGQVVTLLLEKSGWVGVNATCPAGTTVNYTYRSYVSE	85
Query 215	LPVQSTERNFKYLKLNDYLLGAMSITDSVAGVFYPPRNYIRMGVDSNVSQQQKPFGVQDSK	394
	LPV+STE NFKYLKLNDYLLGAMSITDSVAGVFYPPRNYIRMGVDSNVSQQQKPFGVQDSK	

Sbjct	86	LPVRSTEGNFKYLKLNDYLLGAMSITDSVAGVFYPPRNYIRMGVDSNVSQQKPGVQDSK	145
Query	395	LVFKLK VIRPFINIVTIPRQTMFTVYVTTSTGDALSTPVYTISYS GKVEVPQKL*SECRT	574
		LVFKLK VIRPFIN+VTIPRQTMFTVYVTTSTGDALSTPVYTISYS GKVEVPQ E	
Sbjct	146	LVFKLK VIRPFINMVTIPRQTMFTVYVTTSTGDALSTPVYTISYS GKVEVPQN--CEVNA	203
Query	575	GRGV*FS-AISGAPLF*sggsg*ssARRHAASENYRYQMSNLRGASLFIDAALNPKRQG	751
		G+ V F GA LF G+G ++ + +N+ A ++ L ++ G	
Sbjct	204	GQVVEFDIGASLFSQAGAGNRPQGVTPQTKTIAIKCTNV-AAQAYLSMRLEAKASG	262
Query	752	KAMVSDNRVLGSGVCNKHRRRLIPNNLSSKIPFHLDNAAARVGIRSRPISMPGKNP	925
		+AMVSDN LG V N + L PNNLSSKIPFHLDNAAARVGIR+ PIS+ G N P	
Sbjct	263	QAMVSDNPDLGFVVANSNGTPLTPNNLSSKIPFHLDNAAARVGIRAWPISVTG-NKP	319

>[ref|YP 215573.1| **G** minor fimbrial subunit [Salmonella enterica subsp. enterica serovar Choleraesuis str. SC-B67]

gb|AAX64492.1| **G** minor fimbrial subunit [Salmonella enterica subsp. enterica serovar Choleraesuis str. SC-B67]

Length=335

GENE ID: 3333012 fimH | minor fimbrial subunit
 [Salmonella enterica subsp. enterica serovar Choleraesuis str. SC-B67]
 (10 or fewer PubMed links)

Score = 394 bits (1011), Expect = 1e-107
 Identities = 217/298 (72%), Positives = 235/298 (78%), Gaps = 5/298 (1%)
 Frame = +2

Query	35	RNWGGTATDIFYDLSDVFTSGNNQPGQVVTLLKKSDWCGVNATCPAGTTVNPYRSYVSE	214
		RN GTATDIFYDLSDVFTSGNNQPGQVVTLL+KS W GVNATCPAGTTVNY YRSYVSE	
Sbjct	26	RNSNGTATDIFYDLSDVFTSGNNQPGQVVTLLLEKSGWGGVNATCPAGTTVNYTYRSYVSE	85
Query	215	LPVQSTERNFKYLKLNDYLLGAMSITDSVAGVFYPPRNYIRMGVDSNVSQQKPGVQDSK	394
		LPV+STE NFKYLKLNDYLLGAMSITDSVAGVFYPPRNYIRMGVDSNVSQQKPGVQDSK	
Sbjct	86	LPVRSTEGNFKYLKLNDYLLGAMSITDSVAGVFYPPRNYIRMGVDSNVSQQKPGVQDSK	145
Query	395	LVFKLK VIRPFINIVTIPRQTMFTVYVTTSTGDALSTPVYTISYS GKVEVPQKL*SECRT	574
		LVFKLK VIRPFIN+VTIPRQTMFTVYVTTSTGDALSTPVYTISYS GKVEVPQ E	
Sbjct	146	LVFKLK VIRPFINMVTIPRQTMFTVYVTTSTGDALSTPVYTISYS GKVEVPQN--CEVNA	203
Query	575	GRGV*FS-AISGAPLF*sggsg*ssARRHAASENYRYQMSNLRGASLFIDAALNPKRQG	751
		G+ V F GA LF G+G ++ + +N+ A ++ L ++ G	
Sbjct	204	GQVVEFDIGASLFSQAGAGNRPQGVTPQTKTIAIKCTNV-AAQAYLSMRLEAKASG	262
Query	752	KAMVSDNRVLGSGVCNKHRRRLIPNNLSSKIPFHLDNAAARVGIRSRPISMPGKNP	925
		+AMVSDN LG V N + L PNNLSSKIPFHLDNAAARVGIR+ PIS+ G N P	
Sbjct	263	QAMVSDNPDLGFVVANSNGTPLTPNNLSSKIPFHLDNAAARVGIRAWPISVTG-NKP	319

>[gb|ABK27328.1| fimbrial subunit [Salmonella enterica subsp. enterica serovar Infantis]
 Length=335

Score = 392 bits (1006), Expect = 4e-107

Identities = 216/298 (72%), Positives = 233/298 (78%), Gaps = 5/298 (1%)
Frame = +2

Query 35	RNWGGTATDIFYDLSDVFTSGNNQPGQVVTLLKKSDWCGVNATCPAGTTVNPYRSYVSE	214
Sbjct 26	RN GT TDIFYDLSDVFTSGNNQPGQVVTL +KS W GVNA T C PAGTTVNY YRSYVSE	
Query 215	RNSNGTVTDIFYDLSDVFTSGNNQPGQVVTLP E KSGWVGVNATCPAGTTVNYTYRSYVSE	85
Sbjct 86	LPVQSTERNFKYLKLN DYL LGAMSITDSVAGVFYPPRNYIRMGVDSNVSQ QKPFGVQDSK	394
Query 395	LPVQSTE NFKYLKLN DYL LGAMSITDSVAGVFYPPRNYIRMGVDSNVSQ QKPFGVQDSK	
Sbjct 146	LPVQSTE GNFKYLKLN DYL LGAMSITDSVAGVFYPPRNYIRMGVDSNVSQ QKPFGVQDSK	145
Query 575	LVFKLK VIRPFINIVTI PRQTMFTVY VTTSTGDALSTPVYTISYS GKVE VPQKL *SECRT	574
Sbjct 204	LVFKLK VIRPFIN+VTIPRQTMFTVY VTTSTGDALSTPVYTISYS GKVE VPQ E	
Query 752	LVFKLK VIRPFINMVTIPRQTMFTVY VTTSTGDALSTPVYTISYS GKVE VPQN --CEVNA	203
Sbjct 263	GRGV*FS-AISGAPLF*sggsg*ssARRHAASENYRYQMSNLRGASLFIDAALNPKRPG G+ V F GA LF G+G ++ + +N+ A ++ L ++ G	751
Sbjct 204	GQVVEFDIGASLFSQAGAGNRPQGVTPQTKTIAIKCTNV-AAQAYLSMRLEAEKASG	262
Query 752	+AMVSDN LG V N + L PNNLSSKIPFHLD DNAARVGIR+ PIS+ G N P	925
Sbjct 263	QAMVSDNPDLGFVVANSNGTPLPNNLSSKIPFHLD DNAARVGIRAWPISVTG-NKP	319

> ref|YP_002636182.1| **G** FimH protein precursor [Salmonella enterica subsp. enterica serovar Paratyphi C strain RKS4594]

gb|ACN44741.1| **G** FimH protein precursor [Salmonella enterica subsp. enterica serovar Paratyphi C strain RKS4594]

Length=335

GENE ID: 7553049 fimH | FimH protein precursor
[Salmonella enterica subsp. enterica serovar Paratyphi C strain RKS4594]
(10 or fewer PubMed links)

Score = 391 bits (1004), Expect = 6e-107
Identities = 216/298 (72%), Positives = 234/298 (78%), Gaps = 5/298 (1%)
Frame = +2

Query 35	RNWGGTATDIFYDLSDVFTSGNNQPGQVVTLLKKSDWCGVNATCPAGTTVNPYRSYVSE	214
Sbjct 26	RN GT ATDIFYDLSDVFTSGNNQPGQVVTL +KS W GVNA T C PAGTTVNY YRSYVSE	
Query 215	RNSNGTVTDIFYDLSDVFTSGNNQPGQVVTLP E KSGWVGVNATCPAGTTVNYTYRSYVSE	85
Sbjct 86	LPVQSTERNFKYLKLN DYL LGAMSITDSVAGVFYPPRNYIRMGVDSNVSQ QKPFGVQDSK	394
Query 395	LPVQSTE NFKYLKLN DYL LGAMSITDSVAGVFYPPRNYIRMGVDSNVSQ QKPFGVQDSK	
Sbjct 146	LPVQSTE GNFKYLKLN DYL LGAMSITDSVAGVFYPPRNYIRMGVDSNVSQ QKPFGVQDSK	145
Query 575	LVFKLK VIRPFINIVTI PRQTMFTVY VTTSTGDALSTPVYTISYS GKVE VPQKL *SECRT	574
Sbjct 204	LVFKLK VIRPFIN+VTIPRQTMFTVY VTTSTGDALSTPVYTISYS GKVE VPQ E	
Query 752	LVFKLK VIRPFINMVTIPRQTMFTVY VTTSTGDALSTPVYTISYS GKVE VPQN --CEVNA	203
Sbjct 204	GRGV*FS-AISGAPLF*sggsg*ssARRHAASENYRYQMSNLRGASLFIDAALNPKRPG G+ V F GA LF G+G ++ + +N+ A ++ L ++ G	751
Sbjct 204	GQVVEFDIGASLFSQAGAGNRPQGVTPQTKTIAIKCTNV-AAQAYLSMRLEAEKASG	262
Query 752	+AMVSDN LG V N + L PNNLSSKIPFHLD DNAARVGIR+ PIS+ G N P	925
Sbjct 263	KAMVSDNRVLGSGVCNKHRRRLIPNNLSSKIPFHLD DNAARVGIRSRPISMPGKNP	319

Sbjct 263 QAMVSDNPDLGVVANSNGTPLTPNNLSSKIPFHLDNAAARVGIRAWPISVTG-NKP 319

>[ref|ZP_02656603.1| mannose binding protein FimH [Salmonella enterica subsp. enterica serovar Kentucky str. CDC 191]
ref|ZP_03075383.1| mannose binding protein FimH [Salmonella enterica subsp. enterica serovar Kentucky str. CVM29188]
gb|EDX44602.1| mannose binding protein FimH [Salmonella enterica subsp. enterica serovar Kentucky str. CVM29188]
gb|EDZ20737.1| mannose binding protein FimH [Salmonella enterica subsp. enterica serovar Kentucky str. CDC 191]
Length=335

Score = 391 bits (1004), Expect = 6e-107
Identities = 216/298 (72%), Positives = 233/298 (78%), Gaps = 5/298 (1%)
Frame = +2

Query 35	RNWGGTATDIFYDLSDVFTSGNNQPGQVVTLKKSDWCGVNATCPAGTTVNYPYRSYVSE	214
	RN GTATDIFYDLSDVFTSGNNQPGQVVTL +KS W GVNVATCPAGTTVNY YRSYVSE	
Sbjct 26	RNSNGTATDIFYDLSDVFTSGNNQPGQVVTLPEKSGWGVNVNATCPAGTTVNYTYRSYVSE	85
Query 215	LPVQSTERNFKYLKLNDYLLGAMSITDSVAGVFYPPRNYIRMGVDSNVSQQKPFGVQDSK	394
	LPVQSTE NFKYLKLNDYLLGAMSITDSVAGVFYPPRNYIRMGVDSNVSQQ PFGVQDSK	
Sbjct 86	LPVQSTEGNFKYLKLNDYLLGAMSITDSVAGVFYPPRNYIRMGVDSNVSQQMPFGVQDSK	145
Query 395	LVFKLK VIRPFINIVTI PRQTMFTVYVTTSTGDALSTPVYTISYSGKVEVPQKL*SECRT	574
	LVFKLK VIRPFIN+VTI PRQTMFTVYVTTSTGDALSTPVYTISYSGKVEVPQ E	
Sbjct 146	LVFKLK VIRPFINMVTI PRQTMFTVYVTTSTGDALSTPVYTISYSGKVEVPQN--CEVNA	203
Query 575	GRGV*FS-AISGAPLF*sggsg*ssARRHAASENYRYQMSNLRGASLFIDAALNPKRPG	751
	G+ V F GA LF G+G ++ + +N+ A ++ L ++ G	
Sbjct 204	GQVVEFDFGDIGASLFSQAGAGNRPQGVTPQTKTIAIKCTNV-AAQAYLSMRLEAEKASG	262
Query 752	KAMVSDNRVLGSGVCNKHRRRLIPPNLSSKIPFHLDNAAARVGIRSRPISMPGKNP	925
	+AMVSDN LG V N + L PNNLSSKIPFHLDNAAARVGIR+ PIS+ G N P	
Sbjct 263	QAMVSDNPDLGVVANSNGTPLTPNNLSSKIPFHLDNAAARVGIRAWPISVTG-NKP	319